STUDI EKSPERIMEN KARAKTERISTIK AERODINAMIKA PENGARUH ANTI STALL LONG FENCE AIRFOIL NACA 2412 DENGAN OIL FLOW VISUALIZATION PADA PESAWAT CESSNA 172R DI POLITEKNIK PENERBANGAN SURABAYA

PROYEK AKHIR



Oleh:

DEAN AZRIEL ARIFIN NIT: 30421031

PROGRAM STUDI DIPLOMA 3 TEKNIK PESAWAT UDARA POLITEKNIK PENERBANGAN SURABAYA 2024

PROYEK AKHIR

STUDI EKSPERIMEN KARAKTERISTIK AERODINAMIKA PENGARUH ANTI STALL LONG FENCE AIRFOIL NACA 2412 DENGAN OIL FLOW VISUALIZATION PADA PESAWAT CESSNA 172R DI POLITEKNIK PENERBANGAN SURABAYA

Diajukan sebagai Salah Satu Syarat untuk Mendapatkan Gelar Ahli Madya (A.Md.) pada Program Studi Diploma 3 Teknik Pesawat Udara



PROGRAM STUDI DIPLOMA 3 TEKNIK PESAWAT UDARA POLITEKNIK PENERBANGAN SURABAYA 2024

HALAMAN PERSETUJUAN

STUDI EKSPERIMEN KARAKTERISTIK AERODINAMIKA PENGARUH ANTI STALL LONG FENCE AIRFOIL NACA 2412 DENGAN OIL FLOW VISUALIZATION PADA PESAWAT CESSNA 172R DI POLITEKNIK PENERBANGAN SURABAYA

Oleh: **DEAN AZRIEL ARIFIN** NIT. 30421031

Disetujui untuk diujikan pada: Surabaya, 1 Agustus 2024

Pembimbing I : Dr. Ir. SETYO HARIYADI SP, ST, MT

NIP. 19790824 200912 1 001

Pembimbing II : DWIYANTO ST.,M.Pd

NIP. 19690420 199103 1 004

HALAMAN PENGESAHAN

STUDI EKSPERIMEN KARAKTERISTIK AERODINAMIKA PENGARUH ANTI STALL LONG FENCE AIRFOIL NACA 2412 DENGAN OIL FLOW VISUALIZATION PADA PESAWAT CESSNA 172R DI POLITEKNIK PENERBANGAN SURABAYA

Oleh:

DEAN AZRIEL ARIFIN

NIT.30421031

Telah dipertahankan dan dinyatakan lulus pada Ujian Akhir/Tugas AkhirProgram
Pendidikan Diploma 3 Teknik Pesawat Udara
Perguruan Tinggi dan Akademi Penerbangan
pada tanggal : 9 Agustus 2024

Panitia Penguji:

1. Ketua : SUYATMO, ST, S.Pd, MT

NIP. 19630510 198902 1 001

2. Sekretaris: SUSENO, ST, MM

NIP. 1680717 201601 08001

3. Anggota: Dr. Ir. SETYO HARIYADI SP, ST, MT

NIP. 19790824 200912 1 001

Ketua Program Studi

D3 TEKNIK PESAWAT UDARA

NYARIS PAMBUDIYATNO, S,SiT, M.MTr NIP. 19820525 2005021 001

PERNYATAAN KEASLIAN DAN HAK CIPTA

Saya yang bertanda tangan di bawah ini :

Nama : Dean Azriel Arifin

NIT : 30421031

Program Studi : D3 Teknik Pesawat Udara

Judul Tugas Akhir : STUDI EKSPERIMEN KARAKTERISTIK

AERODINAMIKA PENGARUH ANTI STALL LONG FENCE AIRFOIL NACA 2412 DENGAN OIL FLOW VISUALIZATION PADA PESAWAT

CESSNA 172R DI POLITEKNIK PENERBANGAN SURABAYA

dengan ini menyatakan bahwa:

- 1. Tugas akhir ini merupakan karya asli dan belum pernah diajukan untuk mendapatkan gelar akademik, baik di Politeknik Penerbangan Surabaya maupun di Perguruan Tinggi lain, serta dipublikasikan, kecuali secara tertulis dengan jelas dicantumkan sebagai acuan dalam naskah dengan disebutkan nama pengarang dan dicantumkan dalam daftar pustaka.
- 2. Demi pengembangan ilmu pengetahuan, menyetujui untuk memberikan Hak Bebas Royalti Non Eksklusif (Non-Exclusive Royalty-Free Right) kepada Politeknik Penerbangan Surabaya beserta perangkat yang ada (jika diperlukan). Dengan hak ini, Politeknik Penerbangan Surabaya berhak menyimpan, mengalihmedia/formatkan, mengelola dalam bentuk pangkalan data (database),merawat, dan mempublikasikan tugas akhir saya dengan tetap mencantumkan nama saya sebagai penulis/pencipta dan sebagai pemilik Hak Cipta.

Demikian pernyataan ini saya buat dengan sebenarnya. Apabila di kemudian hari terdapat penyimpangan dan ketidak benaran, maka saya bersedia menerima sanksi akademik berupa pencabutan gelar yang telah diperoleh, serta sanksi lainnya sesuai dengan norma yang berlaku di Politeknik Penerbangan Surabaya.

Surabaya, 9 Agustus 2024 Yang membuat pernyataan

KATA PENGANTAR

Puji syukur kepada Allah SWT Tuhan Yang Maha Esa yang telah memberikan rahmat serta karunia-Nya, sehingga penulis dapat menyelesaikan Proposal Proyek Akhir/Tugas Akhir pada yang berjudul "STUDI EKSPERIMEN KARAKTERISTIK AERODINAMIKA PENGARUH *ANTI STALL LONG FENCE AIRFOIL* NACA 2412 DENGAN *OIL FLOW VISUALIZATION* PADA PESAWAT CESSNA 172R DI POLITEKNIK PENERBANGAN SURABAYA" dengan baik.

Penyusunan Proposal Proyek Akhir ini bertujuan sebagai salah satu syarat menyelesaikan pendidikan di Politeknik Penerbangan Surabaya dan memperoleh gelar Ahli Madya (A.Md.).

Penyusun menyadari bahwa dalam proses menyelesaikan Proposal proyek akhir/tugas akhir ini tidak terlepas dari bantuan banyak pihak. Oleh karena itu, pada kesempatan ini penulis juga mengucapkan terima kasih kepada:

- 1. Bapak Ahmad Bahrawi, SE.,MT selaku Direktur Utama Poltekbang Surabaya.
- 2. Bapak Ir. Bambang Junipitoyo, S.T, M.T selaku Kaprodi Diploma 3 Teknik Pesawat Udara beserta dosen dan tim.
- 3. Kedua Orangtua, yang senantiasa mendoakan serta memberikan dukungan yang luar biasa.
- 4. Bapak Dr. Ir. Setyo Hariyadi SP, ST, MT selaku dosen pembimbing I
- 5. Bapak Dwiyanto ST., Mpd. selaku dosen pembimbing II
- 6. Serta rekan rekan dan adik yang tidak bisa disebutkan satu per satu.

Ucap terima kasih banyak kepada orang yang telah membantu menyelesaikan proyeksi akhir/tugas akhir ini. Akhir kata penulis berharap semoga Proposal proyek akhir/tugas akhir ini bermanfaat bagi pembaca.

Surabaya, 9 Agustus 2024

NIT.30421031

ABSTRAK

STUDI EKSPERIMEN KARAKTERISTIK AERODINAMIKA PENGARUH ANTI STALL LONG FENCE AIRFOIL NACA 2412 DENGAN OIL FLOW VISUALIZATION PADA PESAWAT CESSNA 172 DI POLITEKNIK PENERBANGAN SURABAYA

> Oleh: <u>Dean Azriel Arifin</u> NIT: 30421031

Pesawat dapat terbang karena memiliki gaya angkat (lift) yang dihasilkan oleh sayap pesawat (wing) dengan bentuk airfoil yang memiliki gaya hambat (drag) paling rendah diantara bentuk lainnya. Airfoil yang digunakan adalah NACA 2412 dengan penambahan anti stall strip long fence dengan bentuk trapezoidal diharapkan dapat mencegah terjadinya stall pada angle of attack tinggi. Penelitian ini melakukan pengujian aerodinamika dengan cara menggunakan wind tunnel dengan metode oil flow visualization untuk melihat karakteristik aliran udara pada upper surface plain airfoil NACA 2412 dan dibandingkan dengan penambahan anti stall strip long fence. Bentuk anti stall strip long fence ditempatkan di 20% dari Leading Edge. Variasi yang digunakan diantaranya adalah eksperimen pada sudut serang (α) airfoil (0°, 4°, 8°, 10°, 12°, 15°, dan 17°), dan kecepatan freestream (10 m/s dan 20 m/s) pengujian pada wind tunnel. Hasil penelitian ini diharapkan terjadi peningkatan performa gaya angkat (lift) aerodinamika pada airfoil di angle of attack 0° sampai dengan angle of attack 12° dibuktikan dengan separation point yang terlihat visual dari oil akan menunjukan bahwa upper surface masih menerima aliran udara pada angle of attack tinggi dan belum menujukan tanda tanda stall pada penambahan anti stall strip airfoil NACA 2412.

Kata kunci: airfoil, NACA 2412, trapezoidal, anti stall strip long fence

ABSTRACT

STUDI EKSPERIMEN KARAKTERISTIK AERODINAMIKA PENGARUH ANTI STALL LONG FENCE AIRFOIL NACA 2412 DENGAN OIL FLOW VISUALIZATION PADA PESAWAT CESSNA 172 DI POLITEKNIK PENERBANGAN SURABAYA

by:

<u>Dean Azriel Arifin</u>

NIT: 30421031

Airplanes can fly because they have a lift generated by the wings of the aircraft (wing) with an airfoil shape that has the lowest drag among other shapes. The airfoil used is NACA 2412 with the addition of anti stall strip long fence with trapezoidal shape is expected to prevent stall at high angle of attack. This research conducts aerodynamic testing by using a wind tunnel with the oil flow visualization method to see the characteristics of airflow on the upper surface plain airfoil NACA 2412 and compared with the addition of anti stall strip long fence. The anti stall strip long fence is placed at 20% of the leading edge. The variations used include experiments on the angle of attack (a) of the airfoil (0°, 4°, 8°, 10°, 12°, 15°, and 17°), and freestream velocity (10m/s and 20 m/s) testing in the wind tunnel. The results of this study are expected to increase the performance of aerodynamic lift on the airfoil at an angle of attack of 0° to an angle of attack of 12° as evidenced by the separation point that is visible visually from the oil will show that the upper surface still receives airflow at a high angle of attack and has not yet shown signs of stall in the addition of anti stall strip airfoil NACA 2412.

Keywords: airfoil, NACA 2412, trapezoidal, anti stall strip long fence

DAFTAR ISI

HALAMAN PERSETUJUAN	ii
HALAMAN PENGESAHAN	iii
PERNYATAAN KEASLIAN DAN HAK CIPTA	iv
KATA PENGANTAR	v
ABSTRAK	vi
ABSTRACT	vii
DAFTAR ISI	viii
DAFTAR TABEL	
DAFTAR GAMBAR	
BAB 1 PENDAHULUAN	
1.1 Latar Belakang	1
1.2 Rumusan Masalah	4
1.3 Batasan Masalah	5
1.4 Tujuan Penelitian	5
1.5 Manfaat Penelitian	5
1.6 Sistematika Penulisan	6
BAB 2 LANDASAN TEORI	7
2.1 Aerodinamika	7
2.2 Airfoil	9
2.3 Sudut Serang (Angle of Attack)	10
2.4 Bernoulli	11
2.5 Airfoil NACA 2412	14
2.6 Oil Flow Visualization	14
2.7 Wind Tunnel	16
2.8 Blockage Effect	19
2.9 Wing Fence	21
2.10Wing Fence Position	22
2.11Pengaruh Peletakan Wing Fence	22
2.12Penelitian Terdahulu	24

BAB 3 METODE PENELITIAN	30
3.1 Desain Experimen	30
3.2 Benda Uji Penelitian	30
3.3 Parameter yang diukur	30
3.4 Parameter Desain Airfoil NACA 24	41231
3.5 Peralatan penelitian	34
3.5.1 Terowongan Angin (wind tun	nel)34
3.6 Langkah Kerja Pengujian	35
3.7 Pengolahan Hasil Data	36
3.8 Validasi Data	36
3.9 Lokasi Dan Waktu Penelitian	37
	37
3.11 Mind Map	39
BAB IV HASI <mark>L DAN PEMB</mark> AHASAN	Error! Bookmark not defined.
4.1 Perbandingan Oil Visualization	Error! Bookmark not defined.
4.2 Penentuan garis separasi	<mark>Error! Bookmark not defi</mark> ned.
4.3 Penamb <mark>ahan Double Anti S</mark> tall Lor	ng Fe <mark>nceError! Bookmark not defined.</mark>
4.4 Penggunaan kecepatan 1 0m/s dan	20m/sError! Bookmark not defined.
4.5 Hasil Oil Flow Visualization	Error! Bookmark not defined.
4.5.1 Karakteristik Aliran Plain Air	foil Dan Penambahan Anti Stall Strip
	Error! Bookmark not defined.
BAB 5 PENUTUP	Error! Bookmark not defined.
5.1 Kesimpulan	Error! Bookmark not defined.
5.2 Saran	Error! Bookmark not defined.
LAMPIRAN	Error! Bookmark not defined.
DAFTAR PUSTAKA	Error! Bookmark not defined.
DAFTAR RIWAVAT HIDIIP	Errorl Bookmark not defined

DAFTAR TABEL

	Halaman
Tabel 2.1 Daftar Penelitian Terdahulu	24
Tabel 3.1 Waktu Penelitian	37
Tabel 4.1 Hasil Eksperimen Plain Airfoil Error! Bookmar	k not defined.
Tabel 4.2 Hasil Eksperimen Penambahan Anti Stall Long Fence Airf	foil Error!
Bookmark not defined.	
Tabel 4.3 Grafik Hasil Eksperimen Keseluruhan Error! Bookmar	k not defined.



DAFTAR GAMBAR

Halan	nan
Gambar 1.1 Pesawat Glider Wright Bersaudara	1
Gambar 2.1 Persamaan Aerodinamika Sayap Burung dengan Desain Airfoil	
Sayap Pesawat (Sumber https://id.quora.com/Apakah-burung-	
dapat-terbang diakses pada tanggal 15 November 2023)	7
Gambar 2.2 Airflow pada Airfoil (EASA Module 8)	
Gambar 2.3 Nomenclature Airfoil (Goyal, 2021)	9
Gambar 2.4 Variasi Sudut Serang (Suseno,2010)	
Gambar 2.5 Variasi CL dengan Angle of Attack Pada Airfoil (Anderson, 2001).	
Gambar 2.6 Boundary Layer and Turbulen (Anderson, 2001)	
Gambar 2.7 Posisi Wing tidak Mendapatkan Lift	
Gambar 2.8 Posisi Wing Mendapatkan Lift	
Gambar 2.9 Airfoil NACA 2412 (Sumber www.Airfoiltools.com diakses	
tanggal 12 November 2023)	14
Gambar 2.10 Oil Visualization (Ibnu,2021)	
Gambar 2.11 Oil Visualization (Hariyadi, 2015)	
Gambar 2.12 Schematic Of Separation Oil Flow Visualization (Genc, 2012)	
Gambar 2.13 Laminar Separation Bubble (Lock, 2007)	
Gambar 2.14 Peletakan Airfoil Pada Woking Station	
Gambar 2.15 Subsonic Wind Tunnel (Yopiandi, 2021)	.17
Gambar 2.16 Hasil Oil Flow Visualization AR= 3,(Genç,2016)	
Gambar 2.17 Oil Flow Visualization Over NACA 2415, $(\alpha) = 8$ o , $(Genç, 2011)$	
Gambar 2.18 Contoh Ekperimen Oil Flow Visualization over NACA 2415	
(Genç,2011)	.19
Gambar 2.19 Solid Blockage	20
Gambar 2.20 Wake Blockage	20
Gambar 2.21 Tampilan Peletakan Airfoil NACA 2412 Pada Workstation Wind	
Tunel	
Gambar 2.22 Croswind STOL Kit (Sumber: https://	
www.crosswindsstol.com/products.html)	21
Gambar 2.23 Wild West Aircraft SuperStol (Sumber:	
https://www.wildwestaircraft.com/superstol)	22
Gambar 2.24 Macam macam peletakan wing fence (Mc Gann, 1980)	22
Gambar 2.25 Contoh Pengaruh Wing Fence	23
Gambar 2.27 Wing Fence TBM700	23
Gambar 2.26 Wing Fence Learjet	23
Gambar 3.1 Airfoil NACA 2412	
Gambar 3.2 Trapezoidal Anti Stall Strip	32
Gambar 3.3 Ukuran Rib Airfoil NACA 2412	32
Gambar 3.4 Ukuran Support Spar Airfoil NACA 2412	33
Gambar 3.5 Tampilan 3D Autocad Perakitan Desain	33
Gambar 3.6 Tampilan 3D Pemasangan Anti Stall long fence dengan NACA	
2412	.33
Gambar 3.7 Tampilan 3D jarak Pemasangan antar Trapezoidal Anti Stall Strip	
long fence pada NACA 2412	33

BAB 1 PENDAHULUAN

1.1 Latar Belakang

Pesawat terbang pertama kali ditemukan oleh Wilbur Wright dan Orville Wright. Mereka terinspirasi oleh seekor burung dengan fokus pada konsep sayap. Antara tahun 1900-1902 mereka melakukan percobaan menggunakan pesawat tanpa mesin yang disebut dengan glider. Akhirnya Wilbur dan Orvile mengembangkan konsep sayap dan kemudi yang dapat digerakan sehingga pada tahun 1903 mereka berhasil menerbangkannya pesawat selama 59 detik menempuh 852 kaki di Kitty Hawk, North Carolina dengan bentuk pesawat seperti pada gambar 1.1.



Gambar 1.1 Pesawat Glider Wright Bersaudara (Sumber https://www.viva.co.id/ -pesawat-militer-pertama-di-dunia-lulus-uji diakses Tanggal 29 Oktober 2023)

Pesawat ini bisa terbang karena bentuk sayap pesawat yang di desain sedikit melengkung yang kemudian disebut *Airfoi*l. Jenis sayap pesawat yang seperti ini masih terus digunakan di pesawat modern sampai saat ini, dan terus dikembangkan dan dirancang lagi untuk mempermudah pesawat saat terbang. Berkat penemuan ini, inovasi dan pengembangan teknologi terus berlanjut masih digunakan sampai saat ini.

Pesawat bisa terbang karena memiliki gaya *lift* yaitu gaya angkat yang ditimbulkan dari bentuk *Airfoil* pada sayap dikarenakan tekanan udara pada bagian *lower surface* sayap lebih besar dari bagian *upper surface* pesawat ,dan gaya lainnya

pada pesawat adalah gaya hambat disebut *drag yaitu* gaya yang menghambat pesawat bergerak ke depan dan gaya yang membuat pesawat dapat bergerak menuju kedepan hasil disebut juga gaya dorong atau *thrust*. Kondisi gaya berat (w) harus sama dengan *lift* (L), gaya dorong (T) harus sama dengan *drag* (D).

Bagian inti pada pesawat terbang yaitu *fuselage* (badan pesawat), *wing* (sayap), *empenage* (bagian ekor pesawat), *landing gear* (roda pendaratan), dan *engine* (mesin pesawat). Sayap pesawat termasuk dalam bagian inti pesawat terbang yang berbentuk *airfoil* karena bentuk *airfoil* memiliki drag (gaya hambat) yang rendah untuk menghasilkan gaya *lift* (gaya angkat) yang baik dan *wing* disambungkan di masing-masing sisi *fuselage* (badan pesawat) dan merupakan permukaan yang mengangkat pesawat ke udara. Model pemasangan sayap pesawat beragam posisis yaitu diantaranya posisi bawah (*Low-Wing*.), tengah (*Mid-Wing*) atau atas (*High-Wing*) dari *fuselage*.

Karakteristik aerodinamika dari bentuk sayap pesawat untuk memperkirakan sudut maksimal pitch up yang dilakukan oleh pesawat, dari beberapa metode analisis aerodinamika, metode pengujian menggunakan wind tunnel masih dianggap efektif dalam memprediksi karakteristik aerodinamika dan stabilitas pesawat yang diproduksi. Semua pesawat menggunakan besaran lift setinggi-tingginya, untuk mencapai hal tersebut membutuhkan angle of attact yang tinggi juga. Pada saat angle of attack tinggi, menimbulkan gaya drag yang tinggi juga. Cara mengatasi gaya drag dan mengurangi efek wind shear pada wing maka dipasangkan anti stall wing long fence di bagian upper surface pada sayap pesawat terbang.

Anti stall wing long fence dapat menunda terjadinya separasi aliran dan aerodynamic stalling dan mengurangi efek dari wind shear. Eksperimen pengujian karakteristik aerodinamika dibantu dengan alat wind tunnel sub sonic (terowongan angin). Cara kerja wind tunnel dengan sistem indoor wind intake dengan menggunakan motor fan blade, body wind tunnel menyerupai tabung venturi yang di dalamnya terdapat test section berupa airfoil NACA 2412, setelah itu menambahan. Pada penelitian ini hanya menggunakan airfoil jenis NACA 2412 yang digunakan sebagai benda uji aerodinamika.

Durga Priya dan D.V.Balaji (2016) meneliti tentang stall charateristics pada NACA 0012 dengan mengamati perbedaan menggunakan single fence dan two fence dengan boundary layer free stream velocity 30 m/s. Dari hasil tersebut dapat dilihat coefficient lift (cl.), coefficient drag (cb), sehingga dapat diketahui pengaruh penambahan fence pada berbagaivariasi sudut serang (angle of attack). Sebagai acuan dalam menganalisis sudut stall maka dilakukan simulasi menggunakan ANSYS CFX pada single fence airfoil dan double fence airfoil yang ditambahkan pada NACA 0012 dengan sudut serang yang bervariatif. Pemasangan single fence pada airfoil NACA 0012 memberikan hasil yang paling efektif jika dibandingkan dengan yang lainnya. NACA 0012 tanpa menggunakan fence memiliki dasar koefisien lift maksimum sebesar 1.13 dan penambahan single fence memberikan lift sebesar 1.478 dan penambahan double fence memberikan lift sebesar 1.477. Kesimpulan yang didapat adalah penambahan fence memberikan hasil yang besar dalam penambahan sudut angel of attack yang lebih besar dan stabil sehingga memberikan sudut stall 13° tetapi nilai stall semakin meningkat ke 21°dan memberikan variasi hingga 8°,

Wee Tee dan Ahmed Nurye Oumer (2017) meneliti tentang Effect of Stall Strip Position, Sixe and Geometry on the Lift Coeficient on NACA 0015 dengan menggunakan NACA 0015 dengan simulasi meggunakan ANSYS Fluent. NACA 0015 yang digunakan menggunakan Panjang chord 150mm dengan stall strip yang dipasangkan berbentuk segitiga sama sisi dengan tiga ukuran yang berbeda yaitu 2mm,3mm,dan 4mm. simulasi dilakukan dengan menempatkan stall strip pada lima posisi yang berbeda dengan stall strip ukuran 2mm diuji pada semua posisi, sedangkan yang berukuran 3mm dan 4mm diuji pada pos 1. Stall strip dipasang dekat leading edge airfoil dengan sudut serang 0°- 16°. Hasil kesimpulan yang didapat adalah Pada penelitian ini menujukan hasil pada penempatan stall strip di Pos 1 dapat mencegah terjadinya stall paling baik diantara 3 Pos lainnya, Hasil stall strip dengan bentuk segitiga memberikan efek sedikit membantu dalam meningkatkan lift dan mengurangi terjadinya stall, sedangkan stall strip dengan bentuk kubah tidak memberikan efek yang signifikan terhadap stall.

Sanjay N havildar, meneliti tentang Experimental Investigation Lift For NACA 2412 Airfoil Without Internal Passage with NACA 2412 Airfoil Internal Passage in a Subsonic Wind Tunnel (2015) meneliti tentang perbandingan coefficient loft yang dihasilkan oleh airfoil NACA 2412 dengan Lorong internal dengan airfoil NACA 2412 dengan dimensi yang sama yaitu Panjang chord 100mm dan bentang 100mm dengan pembuatan Airfoil menggunakan 3D printed. Simulasi dengan wind tunnel dilakukan dengan kecepatan 8m/s, 11m/s, 15m/s, 18m/s dengan sudut serang 0°,10°,20°,30° dan 40° dengan metode visual menggunakan smoke generator. Implementasi pengujian menggunakan Wind Tunnel dengan pengetesan airfoil pada sudut yang bervariasi dan kecepatan yang berbeda. Dengan hasil pengujian hasil data lift yang di dapat menggunakan kilograms. Hasil pengujian dari NACA 2412 dengan internal passage lebih baik dalam meningkatkan lift dari pada NACA 2412 tanpa menggunakan internal passage.

Berdasarkan beberapa aspek yang mempengaruhi latar belakang di atas, maka penulis mengangkat topik pada tugas akhir ini yang berjudul "STUDI EKSPERIMEN KARAKTERISTIK AERODINAMIKA PENGARUH ANTI STALL LONG FENCE AIRFOIL NACA 2412 DENGAN OIL FLOW VISUALIZATION PADA PESAWAT CESSNA 172R DI POLITEKNIK PENERBANGAN SURABAYA".

1.2 Rumusan Masalah

Dari latar belakang diatas maka dapat diidentifikasikan beberapa pokok masalah,diantaranya :

- 1. Bagaimana efek Anti Stall Long Fence terhadap aliran fluida di atas airfoil?.
- 2. Bagaimana pengaruh *Anti Stall Long Fence* terhadap titik separasi pada *upper surface* dengan tanpa *Anti Stall Long Fence*?.
- Bagaimana cara kerja Anti Stall Long Fence bekerja pada Airfoil NACA 2412.

1.3 Batasan Masalah

Penelitian ini harus memiliki batasan masalah agar pembahasan yang dilakukan lebih terfokus pada tujuan yang telah ditetapkan. Batasan masalah dari penelitian ini adalah sebagai berikut:

- 1. Penelitian ini hanya menggunakan Airfoil NACA 2412.
- 2. Menggunakan Anti Stall dengan konfigurasi Double Strip Long Fence.
- 3. Fluida udara yang mengalir di dalam open-circiut subsonic wind tunnel.
- 4. Penelitian ini hanya menggunakan bentuk *Trapezoidal Anti Stall Long Fence*.
- 5. Penelitian ini dibatasi tidak mengukur *coefficient lift* dan *coefficient drag* pada airfoil.

1.4 Tujuan Penelitian

Tujuan dari penelitian ini adalah sebagai berikut:

- 1. Mengetahui cara kerja Anti Stall Long Fence terhadap aliran fluida diatas airfoil.
- 2. Mengetahui pengaruh penggunaan *Anti Stall Long Fence* terhadap titik separasi pada *upper surface* dengan dan tanpa *Anti Stall Long Fence*.
- 3. Mengetahui karakteristik dari penggunaan strip bentuk trapezoidal.
- 4. menganalisa karateristik aliran fluida yang melintasi *airfoil* NACA 2412 dengan *Anti Stall Long Fence* dan variasi *angle of attack* (AOA) terhadap *flow separation* pada *upper surface*.

1.5 Manfaat Penelitian

Manfaat dari penelitian ini adalah sebagai berikut:

- Penelitian yang dilaksanakan dapat memberikan pengetahuan mengenai studi aerodinamika yang berupa manfaat penggunaan Anti Stall Long Fence.
- 2. Penelitian mempelajari tentang analisa karakteristik aliran pada *airfoil* NACA 2412 dengan berbagai variasi *anti stall* dan *angle of attack*.
- 3. Penelitian ini juga dapat memberikan kemampuan tentang pemahaman analisa maupun eksperimen aliran fluida dengan melakukan *oil flow*

visualization.

4. Penelitian ini diharapkan juga dapat memberikan wawasan dan menjadi referensi dalam melakukan penelitian di bidang study aerodinamika.

1.6 Sistematika Penulisan

Pada penulisan Tugas Akhir ini, penulis menggunakan sistematika penulisan berdasarkan urutan bab-bab yang ada, yaitu antara lain :

BAB 1: PENDAHULUAN

Pada bab ini, penulis membahas tentang latar belakang, rumusan masalah, batasan masalah, tujuan penelitian, manfaat penelitian, dan sistematika dalam penulisan.

BAB 2: LANDASAN TEORI

Merupakan bab tijauan pustaka tentang teori yang digunakan sebagai referensi dalam penelitian, dikaji dari literatur buku maupun kajian pustaka.

BAB 3 : METODE PENELITIAN

Menjelaskan tentang perencanaan metode yang digunakan dalam penyusunan tugas akhir dengan menentukan rancangan penelitian, bahan atau materi dan alat yang akan digunakan, data yang dibutuhkan, instrumen pencapaian, variabel Tugas Akhir, serta gambaran analisis hasil yang diinginkan.

BAB 4: HASIL DAN PEMBAHASAN

Menerangkan dan menguraikan hasil dari penelitian yang telah dilakukan kemudian dianalisa apakah sesuai dengan perencanaan alat.

BAB 5 : PENUTUP

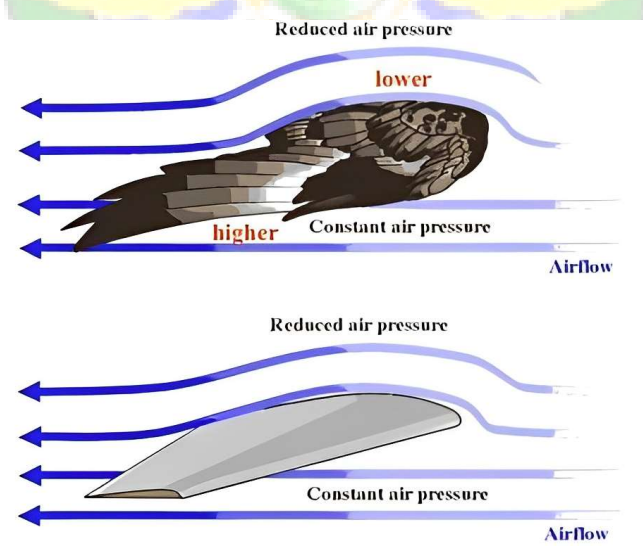
Bab ini berisi kesimpulan dan saran yang diambil dari rancangan alat yang sudah dibuat di uji dan di Analisa.

BAB 2 LANDASAN TEORI

Guna menunjang pembahasan lebih lanjut akan diuraikan beberapa teori dasar dan pengenalan terhadap bahan yang diketahui sebagai media analisis dengan tujuan agar nantinya dapat membantu dalam bahan penulisan.

2.1 Aerodinamika

Aerodinamika yaitu membahas tentang pergerakan udara ketika benda padat yang berinteraksi dengan udara. Aerodinamika (ilmu gaya gerak) dari kata Yunani air = udara dan dynamic = gaya gerak. Sehingga dapat disimpulkan bahwa aerodinamika adalah suatu ilmu yang mempelajari pergerakan benda di udara. Pada Salah satu aerodinamika dalam pesawat yaitu diterapkan pada sayap pesawat (wing). Menurut Sri Jumini (2018), terhadap penjelasan Al-Qur'an surat An-Nahl Ayat 79 yang menjelaskan kekuasaan Allah terhadap makhluk ciptaannya Sebagai contohnya adalah burung, tubuh burung yang sedemikian rupa telah di desain oleh Allah SWT memungkinkan burung dapat terbang dengan gaya dan gerakannya sendiri seperti contoh pada gambar 2.1.



Gambar 2.1 Persamaan Aerodinamika Sayap Burung dengan Desain Airfoil Sayap Pesawat (Sumber https://id.quora.com/Apakah-burung-dapat-terbang diakses pada tanggal 15 November 2023)

Menurut Sri Jumini (2018), telah diteliti dari analisis komparatif dari sumber telaah sains dan Al-Qur'an melalui tafsir yang ada didapatkan hasil berupa prinsip aerodinamis.

- 1. Gaya angkat (*lift*) pesawat dihasilkan dari udsra yang bergerak cepat diatas pesawat
- 2. Gaya angkat pesawat akan lebih besar jika sayap pesawat sedikit dibungkukan
- 3. Gaya angkat akan berkurang jika sayap lebih condong ke atas

Menurut Mulyadi (2014), gaya aerodinamika yang ada pada suatu objek hanya berasal dari dua sumber dasar yaitu distribusi tekanan *(pressure)* dan tegangan geser pada permukaan benda. Berikut gaya aerodinamika pada pesawat memiliki 4 gaya yang mempengaruhi gerak suatu pesawat antara lain:

- 1. Lift atau gaya angkat dihasilkan oleh sayap pesawat yang berbentuk airfoil, yaitu desain dengan tekanan udara dibawah lebih besar daripada tekanan di atas sayap pesawat sehingga mengakibatkan terangkatnya sayap pesawat dengan dipadukan sudut serang pada sayap pesawat (wing)
- 2. Weight atau gaya berat yang berasal dari berat pesawat, penumpang, bahan bakar, dan barang muatan di kargo atau bagasi. Karena pesawat memiliki gaya Weight makan pesawat akan tertarik kebawah dikarenakan terdapat gaya gravitasi. Weight tegak lurus 90 derajat ke bawah (direction of flight).
- 3. *Trusht* atau gaya dorong adalah gaya yang dihasilkan oleh *Engine*. Jenis *engine* pada pesawat bisa bervariasi sesuai dengan kebutuhan penerbangan. Macam macam *engine* bisa berupa penggerak piston atau penggerak *turbine*.
- 4. *Drag* atau gaya hambat pada pesawat tidak bisa dihilangkan tetapi bisa dikurangi dengan membuat setiap bagian pesawat tidak memiliki surface yang menahan udara lewat ke belakang. Maka dari itu setiap bagian pesawat dibuat dengan bentuk *airfoil* karena bentuk tersebut memiliki gaya hambat (*drag*) paling rendah.

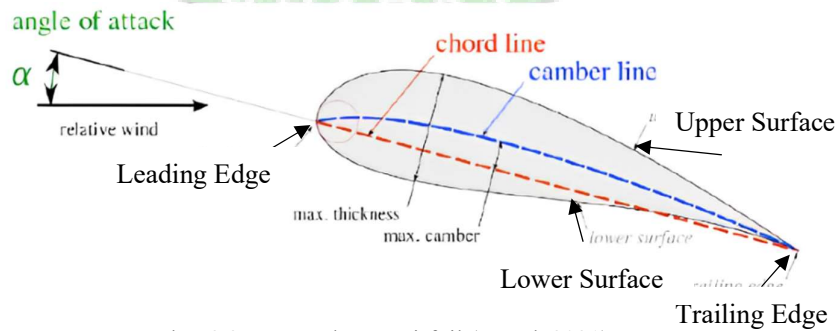
2.2 Airfoil

Airfoil adalah permukaan yang dirancang dan diaplikasikan di pesawat terbang yang mampu mengubah hambatan udara menjadi gaya angkat atau lift yang disebut airfoil. Pada gambar 2.2 terlihat Perbedaan tekanan pada bagian upper surface dan lower surface, airflow yang melewati bagian upper surface harus bisa mencapai trailing edge dengan kecepatan yang lebih tinggi dari pada lower surface karena memiliki luas penampang lebih besar (EASA Module 8). Dengan meningkatnya sudut serang maka akan meningkatkan lift sekaligus juga menghasilkan induce drag, yaitu pada saat sudut serang wing tinggu dan bagian leading edge mengalami upwash sedangkan pada bagian trailing edge mengalami downwash dan membentuk pusaran udara (vortex)



Gambar 2.2 Airflow pada Airfoil (EASA Module 8)

Bentuk darisayap pesawat adalah *Airfoil* yaitu memiliki desain yang cukup unik karena memiliki kemampuan untuk mengalirkan udara ke belakang dengan sedikit gaya hambat *(drag)* yang dihasilkan. Berikut adalah pengertian variable geometris *airfoil*:



Gambar 2.3 Nomenclature Airfoil (Goyal, 2021)

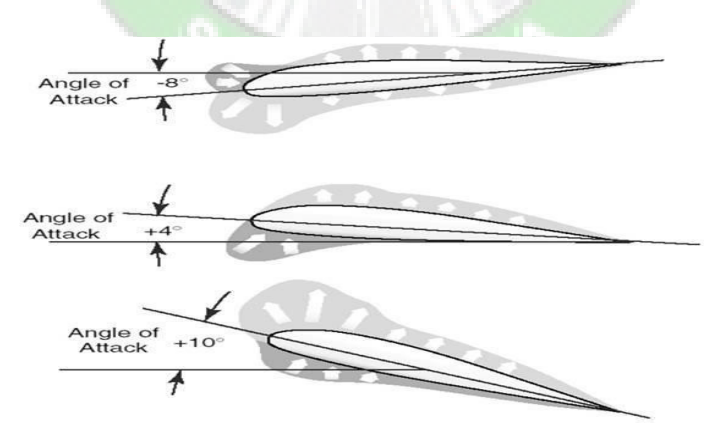
Dari Gambar 2.3 bagian pada *airfoil*, dapat dijelaskan sebagai berikut :

- a. Leading edge, adalah bagian ujung depan dari airfoil.
- b. Trailing edge, adalah bagian ujung belakang dari airfoil.

- c. *Mean chamber line*, adalah garis tengah yang membagi sama besar antara pupper surface dan lower surface airfoil.
- d. Chord line, adalah garis lurus yang membujur dari leading edge ke trailing edge.
- e. *Maksimum chamber*, adalah jarak maksimum antara *mean chamber line* dengan *chord line*. Posisi *Maksimum chamber* membantu menentukan bentuk *mean chamber line*.
- f. *Maksimum thickness*, adalah jarak maksimal antara *upper surface* dan *lower surface* yang juga diukur tegak lurus dengan *chord line*.

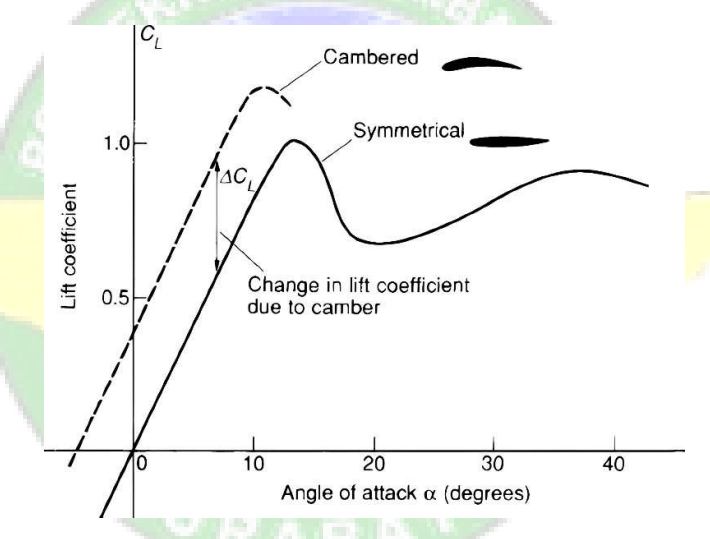
2.3 Sudut Serang (Angle of Attack)

Sudut serang adalah sudut antara arah aliran udara (relative wind) dengan chord line pada airfoil. Relative wind adalah aliran udara yang melewati titik stagnasi leading edge (Abdullah,2019). Pada gambar 2.4 menunjukan peningkatan angle of attack berarti juga meningkatkan lift, namun secara tidak langsung juga akan membangkitkan induced drag. Induced drag adalah drag atau gaya hambat yang tidak timbul secara langsung namun disebabkan oleh bentuk dan permukaan surface yang berbeda. Pada bagian leading edge akan terbenttuk upwash sedangkan pada bagian trailing edge terbentuk aliran downwash yang membentuk aliran vortex (Wahyuni Fajar,2023).



Gambar 2. 4 Variasi Sudut Serang (Suseno, 2010)

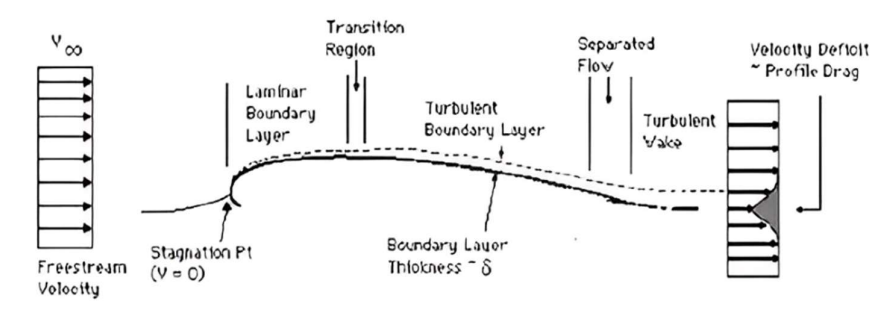
Perubahan angle of attack (α) akan mengakibatkan pitch up dan pitch down yang juga mempengaruhi lift yang dihasilkan oleh airfoil. Ketika angle of attack kecil, maka gaya lift yang dihasilkan pada airfoil juga kecil, sebaliknya jika semakin besar angle of attack airfoil maka semakin besar juga lift yang dihasilkan. Sehingga dapat mencapai critical point yang bisa mengakibatkan stall. Critical point adalah keadaan dimana udara tidak dapat melewati surface airfoil dengan sempurna sehingga mengakibatkan stall. Peristiwa stall dimulai ketika terbentuknya separasi pada upper surface airfoil ketika meningkatnya angle of attack yang melebihi batas critical point. Sehingga terbentuk gelombang aliran besar (wake) pada upper surface airfoil. Airfoil umumnya mempunyai Critical point maksimum angle of attack berada pada sudut 15° sampai 18° seperti yang ditunjukan pada gambar 2.5.



Gambar 2.5 Variasi CL dengan Angle of Attack Pada Airfoil (Anderson, 2001)

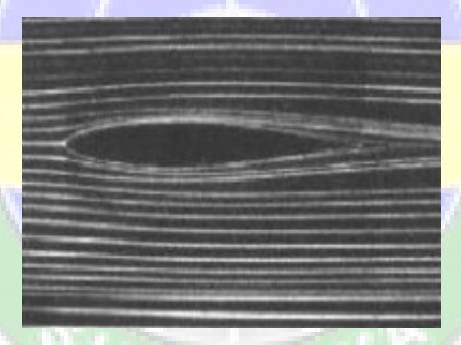
2.4 Bernoulli

Menurut Gilang (2013), prinsip *bernoulli* adalah mekanika fluida yang mengatakan bahwa dalam peningkatan fluida akan mengakibatkan penurunan tekanan pada aliran tersebut. Pernyataan prinsip *Bernoulli* ini juga menyatakan bahwa jumlah energi pada suatu titik di dalam sesuatu aliran tertutup sama besarnya dengan jumlah energi di titik lain pada jalur aliran yg sama.

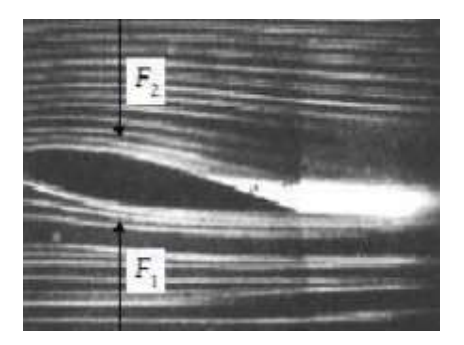


Gambar 2.6 Boundary Layer and Turbulen (Anderson, 2001)

Bernoulli dalam bentuk yag telah disederhanakan dan dibagi dalam dua bentuk yaitu bentuk persamaan yaitu aliran yang tidak termampatkan (incompressible flow) dan aliran yang termampatkan (compressible flow). incompressible flow adalah aliran udara yang besaran kerapatan massa dari fluida di sepanjang aliran tersebut tidak berubah, contohnya adalah seperti minyak. Sedangkan compressible flow adalah aliran fluida yang besaran massa dari sepanjang aliran tersebut tidak berubah, contoh nya adalah udara,gas alam, dll.



Gambar 2. 7 Posisi Wing tidak Mendapatkan Lift (Sumber www.putrawit.com diakses tanggal 13 November 2023)



Gambar 2. 8 Posisi Wing Mendapatkan Lift (Sumber www.putrawit.com diakses tanggal 13 November 2023)

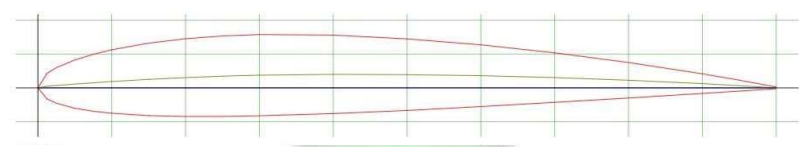
Contoh penerapan prinsip Bernoulli adalah seperti contoh gambar 2.7 diatas

memperlihatkan aliran udara yang *laminar* atau lurus ke belakang dikarenakan posisi wing berada pada angle of attack 0° dan tidak menghasilkan gaya angkat atau *lift*. sedangkan pada gambar 2.8 memperlihatkan posisi wing pada angle if attack lebih dari 0° membuat udara di *lower surface* lebih besar tekanannya dari pada di upper surface dan menghasilkan *lift* tetapi secara tidak langsung juga mengakibatkan gaya hambat atau drag. lalu drag yang membuat udara yang melewati wing terjadinya turbulen, Udara turbulen mempunyai skin friction drag yang lebih besar dibandingkan udara laminar, namun udara turbulent mempunyai kemampuan untuk mencegah pemisahan aliran udara yang dapat mengakibatkan stall dan mengurangi terjadinya wake drag, serta memungkinkan pesawat dapat dioperasikan pada sudut serang yang lebih tinggi dan mencapai coeficient lift (C_L) yang lebih besar dan maksimal dan masih dalam sudut yang belum terjadinya stall. Salah satu cara untuk membuat udara turbulen dan mengindari efek dari wind shear effect atau udara dari samping untuk pesawat sayap tetap atau fixed wing adalah dengan menggunakan Anti stall wing long fence.

Anti stall wing long fence adalah bilah-bilah berbentuk airfoil yang dipasang vertical pada bagian upper surface wing. Fungsi dan cara kerjanya hamper sama dengan Vortex generator yang memutar energi udara stall berlebih yang terjadi setelah melewati wing. Untuk mengurangi drag yang disebabkan oleh aliran udara supersonic, maka dipasang suatu plat vertical memanjang dari leading edge ke trailing edge yang disebut anti stall wing long fence dengan konfigurasi double dan mempunyai jarak antara anti stall satu dengan anti stall yang lainnya yang dipasang di upper surface wing dengan bentuk Trapezoidal. Anti stall wing long fence ini berfungsi untuk menarik udara yang tidak melewati upper surface agar boundary layer masih terjaga dan udara tetap melewati upper surface dari leading edge ke trailing edge untuk menghindari terjadinya stall pada saat posisi wing pada posisi angle of attack yang tinggi.

2.5 *Airfoil NACA* **2412**

NACA adalah singkatan dari "National Advisory Committee for Aeronautics" merupalan standart dalam perancangan suatu airfoil. Desain pembuatan airfoil pada dasarnya dibuat khusus sesuai dengan kebutuhan pesawat yang akan dibuat (Gilang,2013). Pengujian yang dilakukan NACA dengan membagi pengaruh efek kelengkungan ketebalan atau thinkness serta pengujian pada bilangan Reynold lebih tinggi dibanding yang lain. (Hidayat, 2018).



Gambar 2.9 Airfoil NACA 2412

(Sumber www.Airfoiltools.com diakses tanggal 12 November 2023)

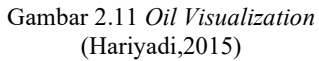
Pada gambar 2.9 diatas adalah *Airfoil* NACA 2412 merupakan *airfoil* seri empat digit atau empat angkat, yang dimana angka pertama menujukan maksimum *chamber* dalam perseratus *chord*, angka ke dua menunjukan posisi *maximum chamber* pada *chord line* dalam persepuluh *chord* dari *leading edge*, dan dua angka terakhir menunjukan dalam maksimum thickness dalam perseratus chord. Menurut Gilang (2013) misalnya pada airfoil 2412 memiliki *maximum chamber* 0.02c terletak pada 0.4c dari *leading edge* dan *maksimum thickness* nya adalah 0.12c, dalam praktek umumnya anga ini dinyatakan dalam persen tali busur yaitu chamber 2% di 40%c dengan dtebal 12%.

2.6 Oil Flow Visualization

Menurut Hariyadi (2015) Oil flow visualization merupakan metode yang efektif untuk melihat aliran dinamika fluida pada bagian upper surface wing dengan menggunakan oil sebagai media visual nya. Cara yang digunakan adalah dengan memotret fluida yang berupa oil dengan pigmen yang telah dicampur dan dioleskan pada upper surface airfoil kemudian airfoil yang telah diolesi oil dimasukan ke dalam wind tunnel setelah itu wind tunnel dioperasikan. Setelah kering, oil pada upper surface airfoil akan membentuk dinamika aliran yang dapat di dokumentasikan dan kemudian di analissa. Sehingga Campuran oil yang digunakan harus tepat dan memiliki tekstur halus tanpa butiran agar dapat menampilkan

separation point seperti yang ditunjukan pada gambar 2.10 dan gambar 2.11.

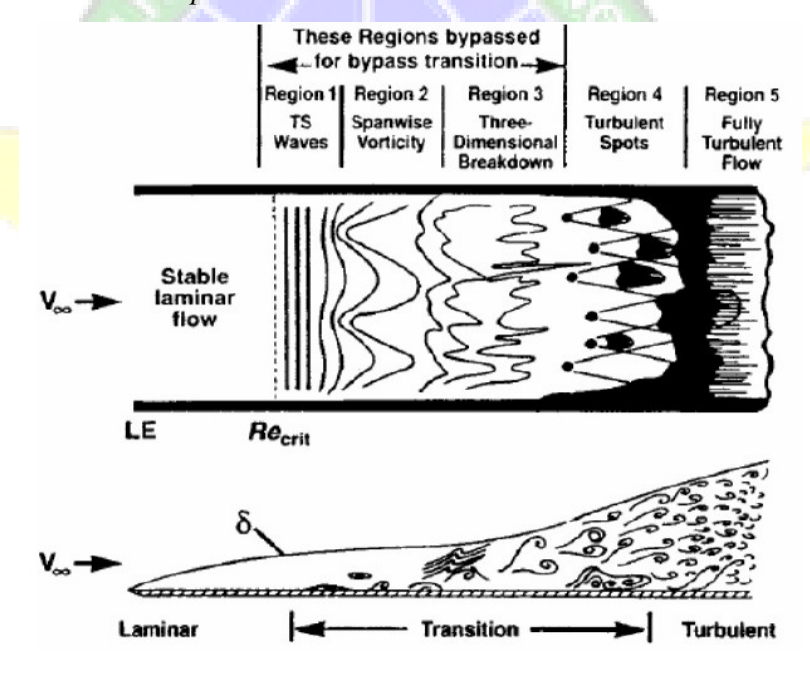




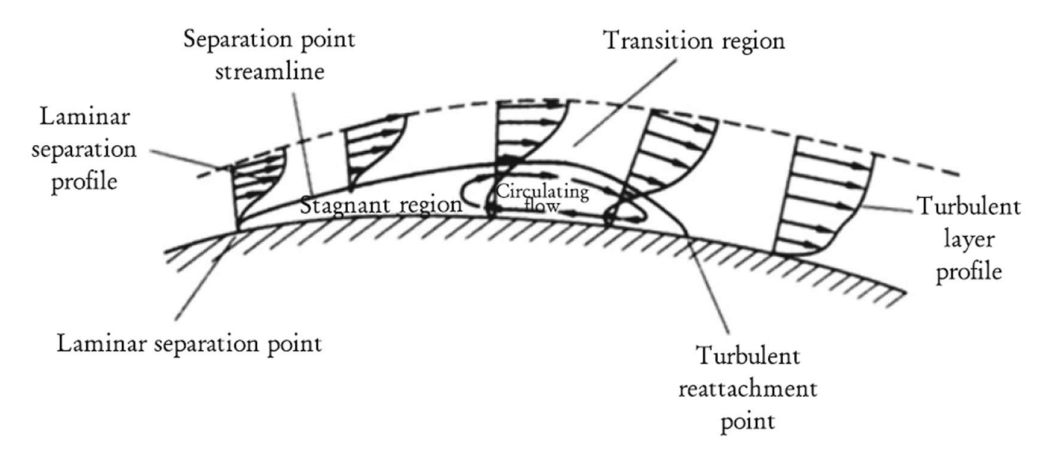


Gambar 2.10 Oil Visualization (Ibnu,2021)

Wind tunnel sangat penting untuk meningkatkan kinerja airfoil. Karena kinerja airfoil sangat tergantung dari lapisan batas laminar (Mayle, 1991) fenomena tersebut seperti laminar separation bubble untuk memastikan tingkat turbulensi aliran bebas yang rendah dan kualitas aliran yang baik di uji dengan wind tunnel dan visualisasi yag ditunjukan pada gambar 2.12 untuk upper surface pada airfoil dan gambar 2.13 untuk buble separation.



Gambar 2.12 Schematic Of Separation Oil Flow Visualization (Genc,2012)



Gambar 2.13 Laminar Separation Bubble (Lock, 2007)

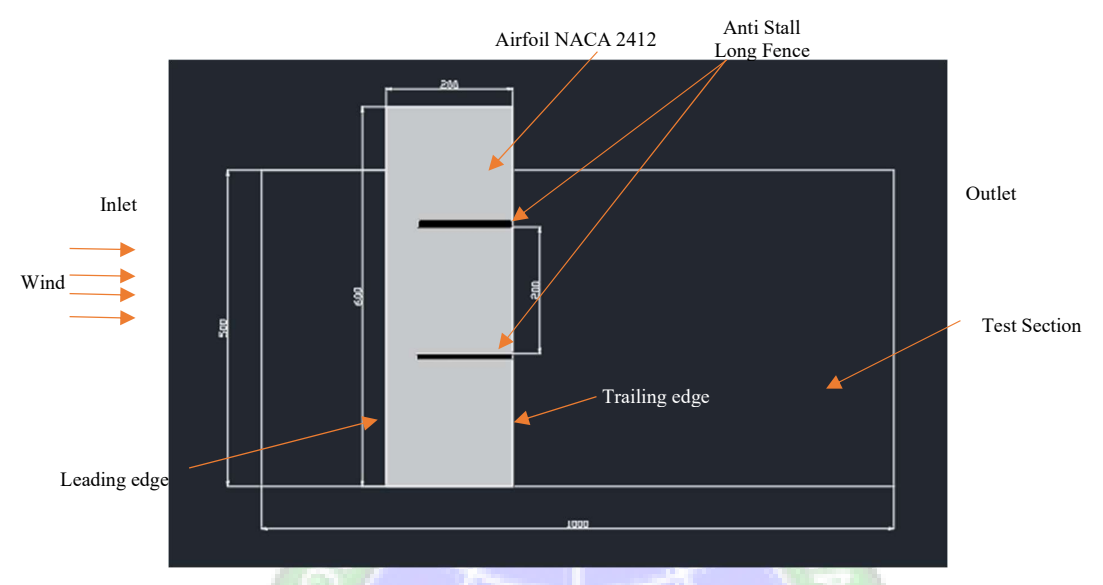
Teknik membuat *Oil Flow Visualization* dilakukan dalam langkah – langkah berikut:

- 1. Buatlah campuran *Kerosene* dan Titanium Oksida (TiO₂) *powder* dengan perbandingan volume 5 : 1.
- 2. Setelah pencampuran *Kerosene* dengan *Titanium Oksida*, lalu tambahkan *Oleic Acid* sebesar 5% pada campuran tersebut.
- 3. Pastikan tercampur rata dan halus tanpa ada gumpalan menggunakan mixer

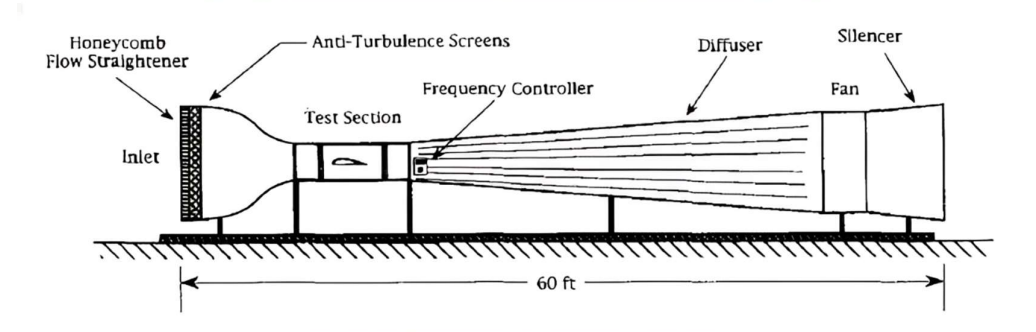
2.7 Wind Tunnel

Wind tunnel sangat penting untuk meningkatkan kinerja airfoil. Karena kinerja airfoil sangat tergantung dari lapisan batas laminar (Mayle, 1991) fenomena tersebut seperti laminar separation bubble untuk memastikan tingkat turbulensi aliran bebas yang rendah dan kualitas aliran yang baik di uji dengan wind tunnel. Penelitian dilakukan di terowongan angin atau wind tunnel subsonic pada gambar 2.15. Wind tunnel adalah alat yang digunakan untuk melakukan pengujian aerodinamika terhadap sebuah object percobaan yang berhubungan dengan aliran udara, Wind tunnel biasanya digunakan untuk mensimulasi sebuah kondisi aliran udara terhadap object yang diujikan. Salah satu syarat wind tunnel layak digunakan untuk melakukan pengujian adalah aliran wind tunnel harus seragam (Hermawan,2020). aliran yang dihasilkan sangat mudah terganggu sehingga sangat disarankan untuk menggunakan wind tunnel subsonic agar titik separasi tidak maju

lebih cepat dan dapat memunculkan fenomena *buble separation* (M.Anyoji,2019) dengan peletakan *airfoil* pada *test station* pada gambar 2.14.



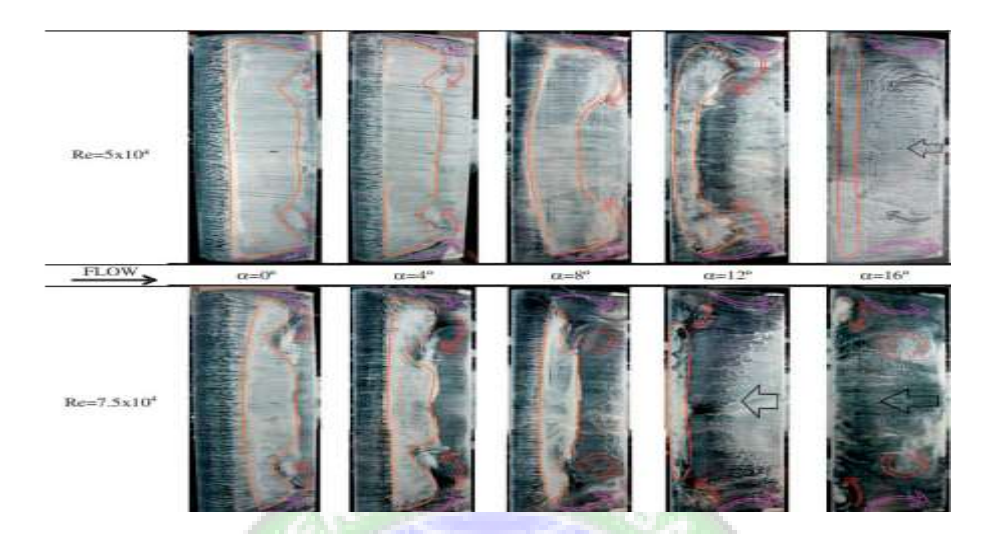
Gambar 2.14 Peletakan Airfoil Pada Woking Station



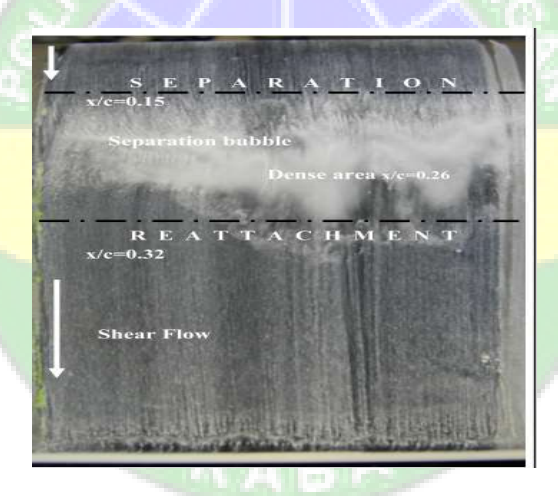
Gambar 2.15 Subsonic Wind Tunnel (Yopiandi, 2021)

Untuk memastikan kualitas aliran udara yang baik pada saat pengujian maka pada *inlet* diberi *honey comb* agar udara yang dihasilkan bagus dan laminar saat udara menyentuh *airfoil*. Sehingga mengakibatkan Gaya *inersia oil* yang bergerak lebih rendah dari *viscous* dan *surface tension* agar tidak mempengaruhi aliran pada *surface wing*. Pada *airfoil* di daerah *upstream* dengan pemotongan pada area *midspan*, Hal ini disebabkan perbedaan kecepatan udara diatas dan dibawah sayap airfoil sehingga titik separasi bergeser ke belakang dan juga efek penambahan *lifting surface*, sehingga aliran divariasi beberapa sudut serang terjadi percepatan aliran. Garis warna merah pada gambar 2.16 menunjukkan aliran transisi dan garis warna kuning yang putus -

putus menunjukkan titik separasi. (Genç et al., 2016)



Gambar 2.16 Hasil Oil Flow Visualization AR= 3,(Genç,2016)



Gambar 2.17 Oil Flow Visualization Over NACA 2415, (α) = 8 o ,(Genç,2011)



Gambar 2.18 Contoh Ekperimen Oil Flow Visualization over NACA 2415 (Genç, 2011)

2.8 Blockage Effect

Yang mengakibatkan blockage ratio adalah Jarak dari spesimen uji ke batas aliran pengujian bagian terowongan angin biasanya lebih pendek dari pada kondisi operasi aktual di lingkungan alami (Barlow et al. 1999). Blockage Effect dibagi menjadi 2 jenis, yaitu *Solid Blockage* yang ditunjukan gambar 2.19 dan *Wake Blockage* yang ditunjukan pada gambar 2.20. pada jenis *Solid Blockage* terjadi karena berkurangnya are untuk angin melewati object pengujian di dalam *workstation*, sedangkan Seperti yang ditunjukkan pada gambar 2.20 kecepatan angin meningkat dan tekanan menurun untuk memenuhi persamaan *Bernoulli*, di mana massa yang mengalir melalui area yang dikurangi oleh object pengujian harus konstan. Kecepatan angin meningkat, sementara di dekat benda uji, dan setelah melewati spesimen, *Solid Blockage Effect* berkurang, dan kecepatan angin dikembalikan ke kondisi aliran udara bebas. Terdapat rumus untuk mengetahui *Blockage dari workstation wind tunnel* dengan rumus (Houigab Jeong. 2016)

$$B_R = \frac{A}{R} \times 100$$

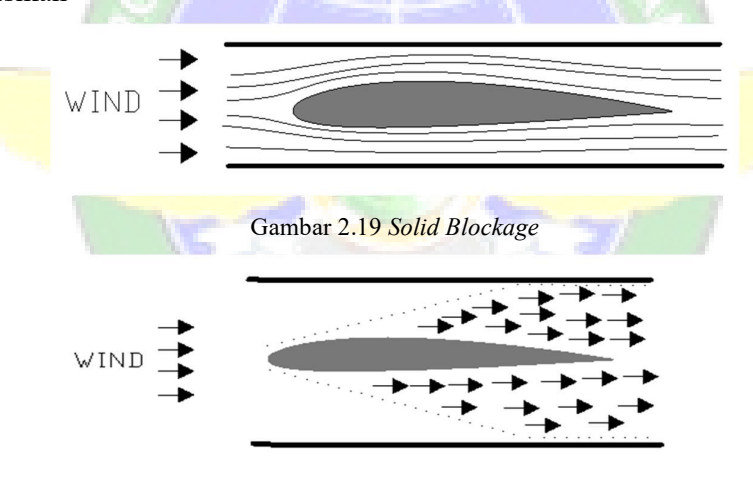
Penunjukan pada rumus diatas ada penunjukan BR adalah Blockage ratio dengan rumus perbandingan antara A sebagai object pengujian dengan B sebagai luas dari workstation pada wind tunnel lalu di perkalian 100 untuk mengetahui berapa persen blockage ratio pada experiment.

Luas Work station : 250.000Luas Plain Airfoil : 31.200

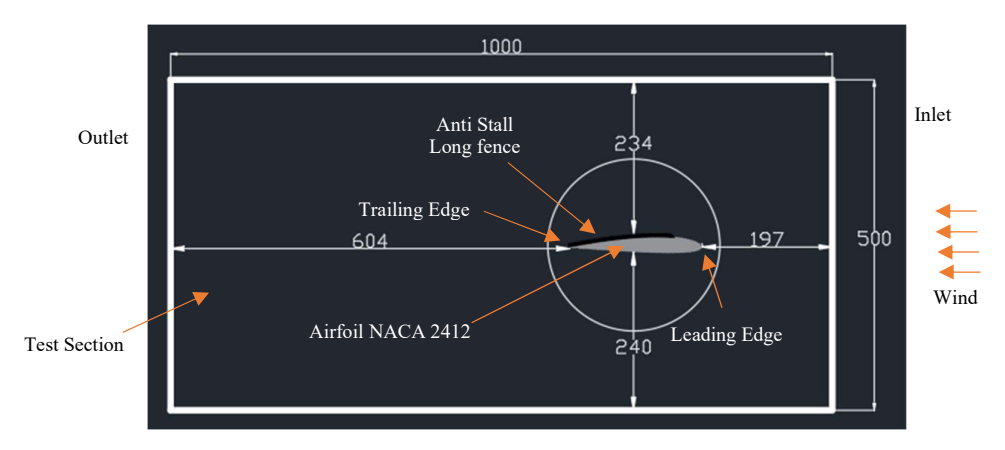
- Luas ASS Airfoil : 37.200
Plain Airfoil
$$B_R = \frac{31.200}{250.000} \times 100$$

= 0,1248 x 100
= 12,48%
ASS Airfoil $B_R = \frac{37.200}{250.000} x 100$
= 0,1488 x 100
= 14,88%

Kesimpulan yang didapat adalah *Blockage* pada wind tunnel eksperimen menunjukan hasil *Blockage* pada *plain airfoil* adalah 12,48% dan *blockage* airfoil dengan penambahan *Anti stall Strip* adalah 14,88%. Pada pengujian *airfoil* ini di identifikasikan sebagai *solid blockage* karena bagian yang di analisis bagian *upper surface* dengan melihat pergerakan fluida oil dapat terlihat dan dapat di identifikasikan



Gambar 2.20 Wake Blockage



Gambar 2.21 Tampilan Peletakan Airfoil NACA 2412 Pada Workstation Wind Tunel

2.9 Wing Fence

Wing Fence umumnya digunakan pada pesawat dengan bentuk sayap swept back untuk mencegah lapisan boundary layer keluar ke arah wing tip. Aliran silang menciptakan daya angkat samping pada pagar yang menghasilkan pusaran vortex. Sehingga wing fence Ini meningkatkan koefisien lift (Moh Sadraey, chapter 5 wing desain). wing fence merupakan wing accesories tambahan yang umum digunakan untuk pesawat STOL (Short Takeoff And Landing) yang dipasangkan pada pesawat ringan dengan tipe fixed wing yang diperuntukan untuk pesawat yang membutuhkan jarak landing dan take off di landasan yang pendek, diantaranya pesawat yang umumnya menggunakan penambahan modifikasi STOL seperti pesawat cessna, piper, dan balanca. Modifikasi STOL di sediakan oleh penyedia modifikasi STOL yang berlisensi seperti Perusahaan crosswind STOL, Horton.inc, Micro Aerodynamic, dan Sierra Industries (sumber: https://en.wikipedia.org/wiki/STOL)..

Crosswinds S.T.O.L. Kit



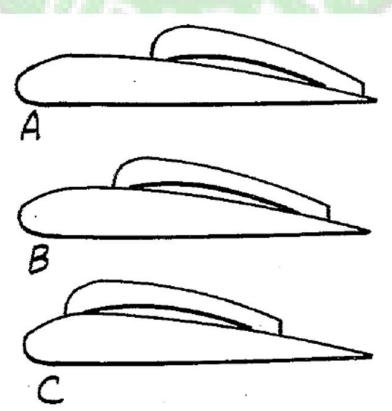
Gambar 2.22 Croswind STOL Kit

2.10 Wing Fence Position

Pada pesawat bersayap lurus atau *straight*, *wing fence* bertujuan untuk mengontrol aliran udara di area flap (All Star Wing Design Level 3) seperti yang ditunjukan pada gambar 2.22. Penggunaan *wing fence* juga menciptakan masalah *structural* dan tidak dapat direkomendasikan secara khusus di lokasi tertentu untuk semua pesawat. Tergantung pada geometri sayap dan kondisi aliran, lokasi, ukuran, dan jumlah pagar akan bervariasi untuk mendapatkan kinerja yang optimal (Vadivelu, 2018). Pada gambar 2.24 mengilustrasikan tiga posisi *open wing fence* relatif terhadap *wing chord*. Pada gambar A, *wing fence* ditempatkan di dekat *trailing edge* pada gambar B, lebih dekat ke pusat chord, dan pada gambar C, lebih dekat ke pusat *chord* jauh ke depan dari pusat dan relatif dekat dengan *leading edge* (Mc Gann, 1980).



Gambar 2.23 Wild West Aircraft SuperStol (Sumber: https://www.wildwestaircraft.com/superstol)

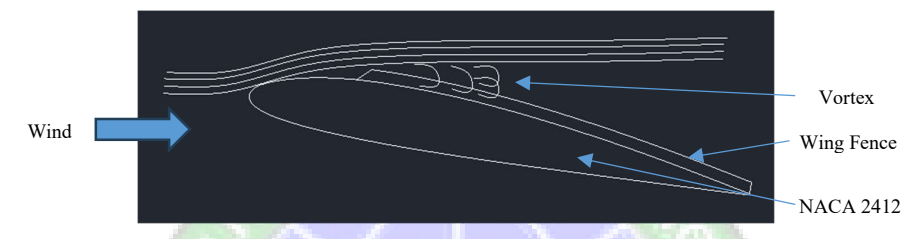


Gambar 2.24 Macam macam peletakan wing fence (Mc Gann, 1980)

2.11 Pengaruh Peletakan Wing Fence

Peletakan wing fence terdapat 3 macam yaitu hanya di leading edge, dari

tengah wing ke trailing edge, dan memanjang dari leading edge ke trailing edge. Masing masing memiliki pengaruh dan fungsi yang berbeda dalam mempengaruhi boundary layer untuk menciptakan vortex pada upper surface. Dalam penelitian ini menggunakan NACA 2412 dengan peletakan wing fence dengan jarak 20% dari leading edge memanjang ke trailing edge dengan trapezoidal pada bagian depan wing fence dikarenakan pesawat cessna termasuk dalam kategori low speed aircraft. Tujuannya untuk menciptakan vortex di area upper surface pada saat angle of attack airfoil tinggi sehingga dapat menghambat terjadinya separasi yang terlalu cepat.



Gambar 2.25 Contoh Pengaruh Wing Fence

Peletakan wing fence hanya di bagian leading edge diperuntukan pada pesawat dengan kecepatan tinggi karena vortex sudah terbentuk dahulu sehingga wing fence di fungsikan untuk mengontrol aliran udara setelah melewati wing fence seperti yang ditunjukan pada gambar 2.26 . Berbeda dengan wing fence yang diletakan pada jarak sekian dari leading edge biasanya dipasangkan pada pesawat dengan kecepatan rendah dikarenakan pada kecepatan rendah belum terjadi vortex pada leading edge sehingga wing fence berfungsi untuk menghasilkan vortex di area upper surface wing seperti yang ditunjukan pada gambar 2.27 untuk menghambat terjadinya separasi yang terlalu cepat.



Gambar 2.27 Wing Fence Learjet



Gambar 2.26 Wing Fence TBM700

2.12 Penelitian Terdahulu

Pada penyusunan tugas akhir ini, ada beberapa acuan dari penelitian terdahulu seperti yang ditunjukan pada tabel 2.1

Tabel 2.1 Daftar Penelitian Terdahulu

Metode	Tahun	Peneliti	Keterangan	Persamaan / perbedaan
Oil Flow	2007	Johari,	Menggunakan airfoil	• Persamaan :
Vizualization		Henoch, dan	NACA 63 ₄ -021.	- Menggunakan
		Levshin	Menggunakan	metode oil flow
			trapezoidal vortex	vizualization.
			generator.	• Perbedaan:
		1	Amplitude leading-	- Menggunakan
		11.77	edge berkisar antara	NACA 43018.
			2,5-12% dari <i>mean</i>	- Menganalisis
	A	$\nabla \mathcal{L}$	chord lenght, RE	Koefisien Lift
	A G	$^{\prime\prime}$	$=1.83 \times 10^5$.	(C_L) serta
	100	/ /	Panjang gelombang	Visualisasi
	_		spanwise adalah 25%	Aliran dan
			dan 50%.	menganalisis
			Hasil penelitian ini	Koefisien Drag
	1		adalah efek	(C_D) .
	1	New Toll	sinusoidal pada	- Kecepatan aliran
	1	200	leading edge NACA	udara bebas
		1	63 ₄ -021 yaitu	(freestream) yang
		0//	pengurangan	akan digunakan
		1	koefisen angkat pada	sebesar 10m/s,
			baseline foil	20m/s.
			sebanyak 50%,	
			amplitude hampir	
			konstan kisaran 10°-	
			26°.	
Subsonic	2015	Sanjay N	Menggunakan	• Persamaan:
Windtunnel		havildar,	airfoil NACA	- Menggunakan
dan 3D		Sharul	2412.	NACA 2412.
printed		Pawar,	Menganalisis	- Menganalisis
		Apoorva	Koefisien Lift	Koefisien Lift

		T.1. D.1.1	NA CA 2412	(C)
		Lele, Rahul	• NACA 2412	(C_L) serta
		Pradan,dan	dengan internal	Visualisasi
		Aniket Rishi	passagge	Aliran dan
			• sudut serang (α) 0°,	menganalisis
			10°, 20°,30° dan	Koefisien Drag
			40°.	(C_D) .
			Velocity yang	- Menggunakan
			digunakan 8m/s,	subsonic wind
			11m/s, 15m/s, dan	tunnel
			18m/s.	• Perbedaan:
			Menggunakan model	- Menggunakan
		-67	3D printed	plain airfoil dan
		115.17	Hasil pengujian	internal passage
			slotted bagus dan	- Sudut serang
	A	3/	meningkatkan lift	yang digunakan
	Me	$\gamma \gamma$	pada <i>velocity</i> 8m/s	0°, 4°, 8°, 10°,
	100	/ /	dan 11m/s	12°, 15°, dan
-				17°
			(1) ESTA	- Menggunakan
			INC. TES	metode oil flow
	-			vizualization
		15 5		- Menggunakan Re
	1		U ma roda	$= 1 \times 10^{5} dan Re =$
	1	AU		2 x 10 ⁵
		COLOR		- Kecepatan aliran
			TABA	udara bebas
				(freestream) yang
				akan digunakan
				sebesar 10m/s,
				20m/s.
Eksperimen	2017	Wee Tee dan	Menggunakan	• Persamaan :
dan Simulasi		Aklilu	airfoil NACA	- Menganalisis
Numerik		Baheta	0015.	Koefisien Lift
			• penambahan <i>stall</i>	(C_L) serta
			strip	Visualisasi
			1	Aliran dan

			bahwa penggunaan	- Menggunakan Re
			cavity dapat	$= 2 \times 10^{5} dan Re =$
			meningkatkan	3 x 10 ⁵
			performa dari wing	
			meningkatkan	
			coefficient lift.	
Metode	2016	Arwanda	Menggunakan	• Persamaan:
Computation		Wahyu Eko	airfoil NACA	- Menganalisis
al Fluid			2412	Koefisien Lift
Dynamics			• menggunakan	(C_L) serta
(CFD)			penambahan slat.	Visualisasi
		-	Konfigurasi slat	Aliran dan
			angle 0,05;0,07	menganalisis
			;0,09	Koefisien Drag
	A		• Re=12,58x10	(C_D) .
	46	* /	pada sudut	- Menggunakan
	101	/ /	serang (α) 0°, 8°,	NACA 2412
			dan 16°.	• Perbedaan :
			Hasil dari penelitian	- Menggunakan
			ini adalah Koefisien	slat
	1		lift pada angle of	- Sudut serang
			attack 8°, dan 16°.	yang digunakan
	- 1		time made	8°, dan 16°.
	, N			- Menggunakan
		W//		metode numerical
			YABAY	Persamaan
				- Menggunakan
				NACA 2412
Oil flow	2021	Ibnu halim	Menggunakan	• Persamaan:
visualization			NACA 43018	- Menganalisis
			Menggunakan	Koefisien Lift
			triangular vortex	(C _L) serta
			generator	Visualisasi
				Aliran dan
				menganalisis

	1	T	Т .	TT 0 -
			Tipe <i>vortex</i>	Koefisien Drag
			generatornya	(C_D) .
			triangular VG	- Menggunakan
			dengan susunan	x/c = 20%
			counter rotating,	- Menggunakan
			x/c=20%, V=20 m/s.	NACA 43018
			Variasi sudut	• Perbedaan:
			serangnya adalah (α)	- Susunan VG
			0°, 2°, 4°, 6°,8°, 10°,	adalah straight
			12°, 15°,16°,17°,dan	disumbu x
			20°.	terhadap arah
		-450	Penggunaan vortex	chord line
		1831	generator lebih	- Menggunakan
			efektif menunda	metode oil flow
	_A	Y/ /	separasi aliran yang	vizualisation
	A G	* /	dapat diamati pada	- Sudut serang
	-62	/ /	sudut serang 12°-15°	yang digunakan
			pada airfoil dengan	0°, 4°, 8°, 10°,
			dan tanpa vortex	12°, 15°, dan
			generator.	17°
	1000			- Menggunakan
	1	No.		metode oil flow
		N. COLUM	U ma mesa	vizualization
	1	1		- Menggunakan Re
		TO BE	The second	$= 1 \times 10^5 \text{dan Re} =$
		-	YABAY	2 x 10 ⁵
				- Kecepatan aliran
				udara bebas
				(freestream) yang
				akan digunakan
				sebesar 10m/s,
				20m/s
Element	2022	I and!	M. 1	D.
Eksperimen	2022	Leandis,	Menggunakan airfoil	• Persamaan:
don Circulas		V boimil	NIA CIA 22012	M 1' '
dan Simulasi Numerik		Khairil, Rustan	NACA 23012.	- Menganalisis Koefisien Lift

V = 20.96 m/s, 28.48 (C_L) serta Visualisasi m/s, dan 33,90 m/s Aliran dan • Panjang Chord = 10 menganalisis cm Koefisien Drag Parameter yang (C_D) . dievaluasi meliputi Perbedaan: koefisien tekanan - Susunan VG (Cp), Upper Surface, Lower Surface adalah straight disumbu x Hasil penelitian ini terhadap arah menunjukan C_P tanpa chord line menggunakan vortex - Menggunakan generator untuk udut metode oil flow serang 6°,7° dan 8° vizualisation untuk upper surface - Menggunakan sebesar -1,8235, -NACA 43018 1,5000, dan -- Sudut serang 1,3529 dan lower yang digunakan surface 1,2647, 0°, 4°, 8°, 10°, 0,8529, 12°, 15°, dan dan 0,7059 17° sedangkan dengan - Menggunakan menggunakan vortex metode oil flow generator yaitu vizualization 2,0735, -1,6176, dan - Menggunakan Re -1,5000 dan 1,2941, $= 1 \times 10^5 \, \text{dan Re} =$ 0,8824, dan 0,7353. 2×10^{5} - Kecepatan aliran udara bebas (freestream) yang akan digunakan sebesar 10m/s, 20m/s.

BAB 3 METODE PENELITIAN

Bagian metode dari penelitian ini berkaitan dengan alat dan bahan yang digunakan yaitu metode simulasi menggunakan terowongan angin (*wind tunnel*) berkecepatan *subsonic*. Benda uji yang digunakan adalah *airfoil* NACA 2412. Benda uji berada di dalam terowongan angin (wind tunnel) yang dialiri angin. Pembuatan geometri *airfoil* dan terowongan angin didasari oleh penelitian Anang Saputra (2017) dengan Re = 1×10^5 dan Re = 2×10^5 , hal ini dilakukan agar hasil yang didapat bisa divalidasi. Pembuatan *airfoil* di desain dengan SolidWork berbahan kayu balsa

3.1 Desain Experimen

Dalam menunjang penelitian tentang karateristik fluida di NACA 2412 dibawah ini peralatan dan benda uji yang digunakan sebagai berikut:

3.2 Benda Uji Penelitian

Airfoil yang digunakan dalam penelitian ini adalah airfoil seri 4 digit yaitu jenis NACA 2412. Dimensi dan konfigurasi dari airfoil NACA 2412 mengacu pada airfoiltools.com dengan didesain ulang menggunakan SolidWork dan dibuat dengan Panjang chord line sepanjang 200mm dan spanwise sepanjang 600mm. Pada gambar 3.1 menunjukkan profil penampang airfoil NACA 2412 sebagai gambaran benda uji dalam penelitian ini.



Gambar 3.1 Airfoil NACA 2412

3.3 Parameter yang diukur

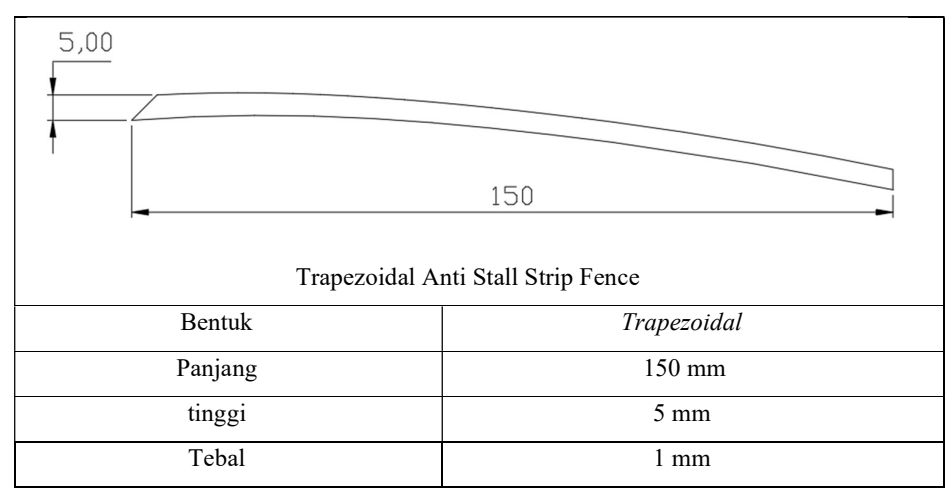
Analisa dimensi diperlukan untuk mengetahui apakah suatu parameter

mempengaruhi penelitian atau tidak. Dibawah ini adalah parameter aliran yang mempengaruhi hal ini :

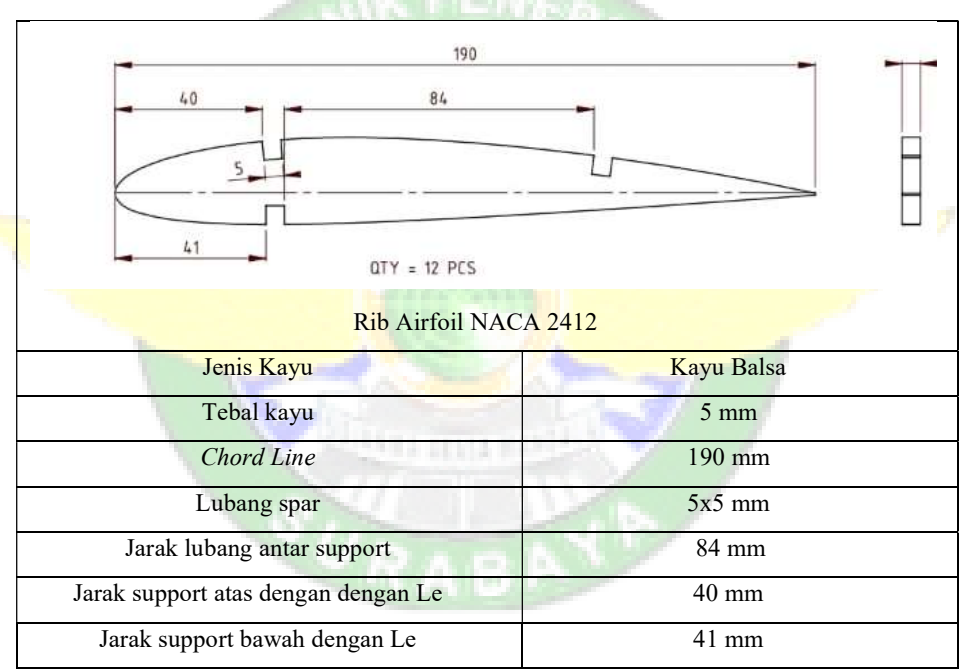
- 1 Massa jenis fluida, ρ (kg/m³)
- 2 Kecepatan fluida, $U\infty$ (m/s)
- 3 Ketebalan boundary layer, δ (m)
- 4 Airfoil thickness, x (m)
- 5 Jarak antara dinding plat datar dengan Airfoil, G (m)
- 6 Panjang Airfoili Chord, c (m)
- 7 Tinggi Vortex Generator, i (m)
- 8 Panjang Vortex Generator, l (m)

3.4 Parameter Desain Airfoil NACA 2412

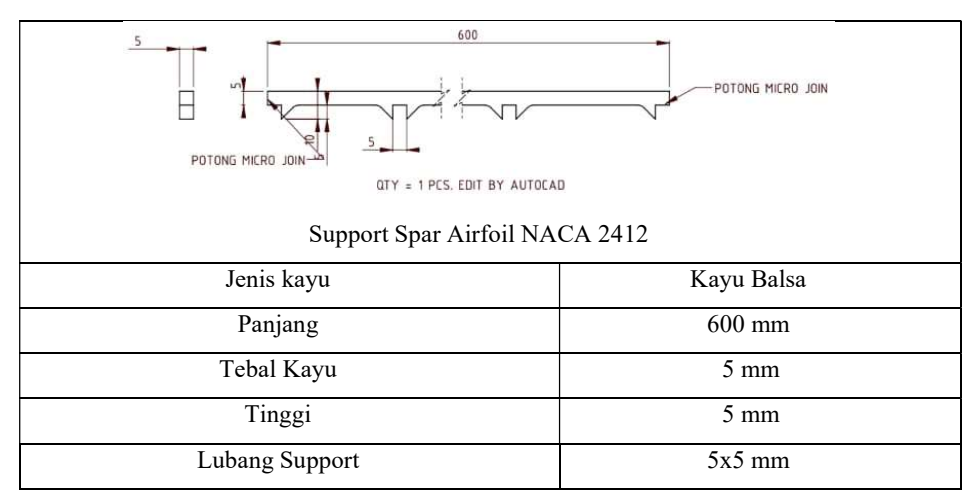
Pada penelitian ini menggunakan airfoil dengan bahan rangka rib dan spar serta skin menggunakan kayu balsa. Karena memiliki ketahanan yang cukup dan mudah dibentuk dengan pemotongan kayu balsa menggunakan laser cutting sesuai dengan desain yang telah dibuat. Desain rib yang dibuat yaitu pada gambar 3.3 berjumlah 12 buah dengan ketebalan kayu 5mm dan digabungkan perakitannya dengan desain spar pada gambar 3.4 berjumlah 3 buah untuk memperkuat airfoil menggunakan ketebalan kayu blasa 5mm. setelah di satukan dengan lem perekat dan ditambahkan skin menggunakan sheet kayu balsa dengan ketebalan 1mm dipasang mengikuti bentuk rangka airfoil seperti pada gambar 3.5. airfoil kemudian di dempul dan diberi cat warna hitam dengan permukaan yang halus agar tidak menimbulkan drag pada saat pengujian eksperimen pada wind tunnel. Setelah itu airfoil dipasangkan dengan anti stall long fence dengan desain pada gambar 3.2 menggunakan kayu balsa ketebalan 1mm yang diletakan pada upper surface airfoil dengan jarak 200mm dari wing tip dan antar anti stall long fence seperti yang ditunjukan pada gambar 3.7 dan gambar 3.8.



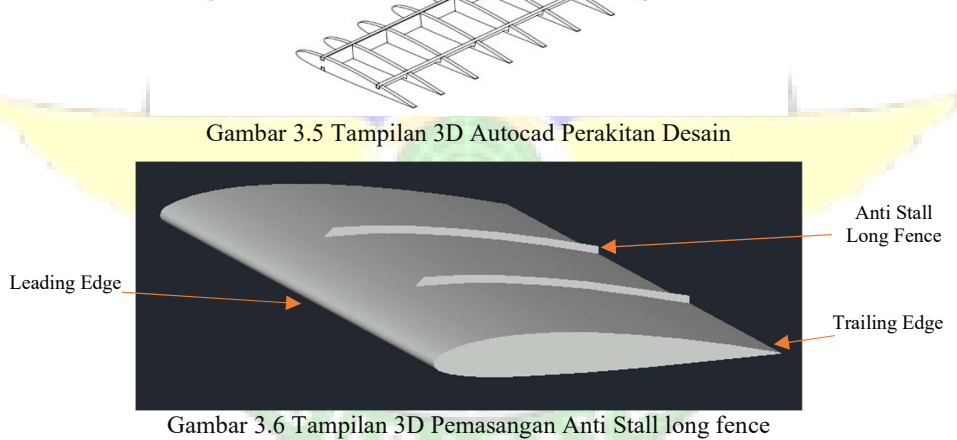
Gambar 3.2 Trapezoidal Anti Stall Strip



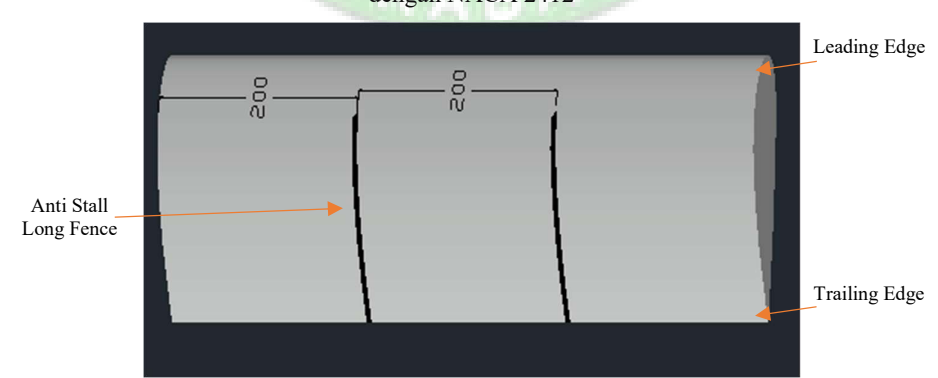
Gambar 3.3 Ukuran Rib Airfoil NACA 2412



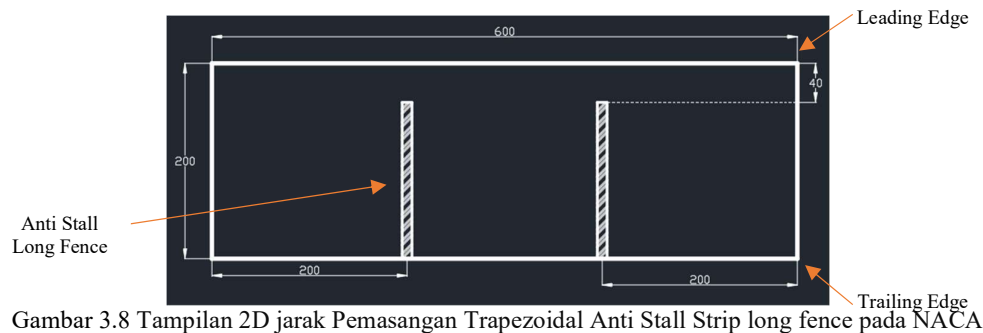
Gambar 3.4 Ukuran Support Spar Airfoil NACA 2412



dengan NACA 2412



Gambar 3.7 Tampilan 3D jarak Pemasangan antar Trapezoidal Anti Stall Strip long fence pada NACA 2412



2412

3.5 Peralatan penelitian

3.5.1 Terowongan Angin (wind tunnel)

Dalam penelitian ini menggunkaan open circuit subsonic wind tunnel (gambar 3.9) dengan kecepatan 10 m/s dan 20 m/s untuk menguji benda dalam berskala model, dengan udara yang masuk langsung bebas dibuang setelah melalui test section. Terowongan angin (wind tunnel) dibuat dalam kondisi realistis, sehingga hasil yang diperoleh cukup akurat.

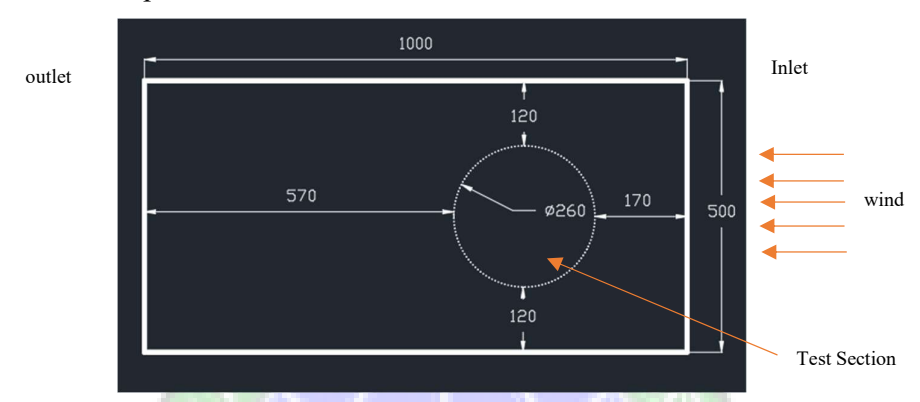


Gambar 3.9 Wind Tunnel

Wind tunnel subsonic berarti kecepatan yang dihasilkan kurang dari 1 Mach. Mach adalah satuan umum kecepatan yang menyatakan kecepatan relatif terhadap kecepatan suara. Satuan biasanya ditempatkan sebelum nomor pengukurannya seperti Mach 1.0 untuk kecepatan suara, Mach 2.0 untuk kecepatan suara dua kali lipat. Kecepatan suara sebenarnya tergantung pada tekanan dan suhu atmosfir. Pada suhu udara 0°C dan tekanan udara 1 atmosphere (atm), kecepatan suara adalah 1088 ft/s atau 331,6m/s atau 748 mi/h, kecepatan dibagi menjadi empat rentang, yaitu:

Ernest Mach (1838-1916) tidak memperkenalkan bilangan Mach. Istilah ini diperkenalkan pada tahun 1929 oleh insinyur Swiss Jacob Ackeret. Mach

sendiri tidak menyebut bilangan itu sebagai *Mach Number* saat itu. Kemudian kata Mach digunakan oleh orang-orang sekaligus sebagai penghargaan kepada Ernest Mach atas kontribusinya dalam pengembangan prinsip dasar supersonik. Belakangan, *Mach Angle* (Sudut Mach) dan *Mach Reflection* muncul dalam aerodinamika supersonik.

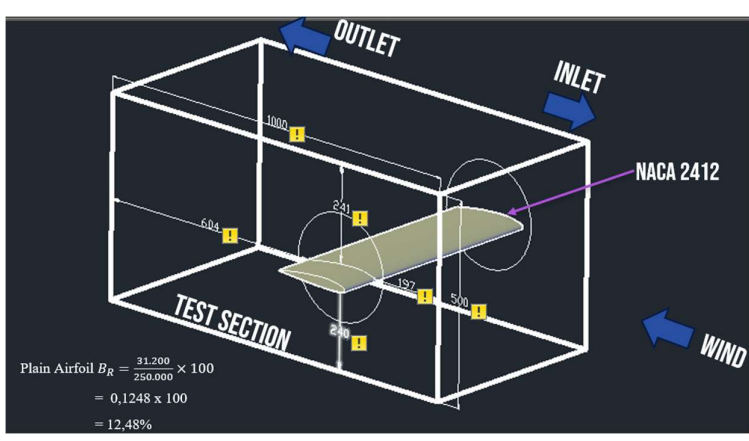


Gambar 3.10 Test Section Wind Tunnel

3.6 Langkah Kerja Pengujian

untuk pengujian *airfoil* pada *test section subsonic wind tunnel subsonic* WT-60 adalah sebagai berikut dengan contoh peragaan pada gambar 3.11:

- 1. Menggunakan safety equipment
- 2. Menyiapkan kesiapan dari wind tunnel
- 3. Membuat campuran oil flow visualization
- 4. Oleskan oil flow pada naca 2412 dengan menggunakan kuas pada upper surface airfoil.
- 5. Letakan airfoil pada tempat test section wind tunnel yang tersedia
- 6. Menyiapkan sudut angle of attack airfoil di test section
- 7. Operasikan wind tunnel pada kecepatan yang di inginkan
- 8. Setelah *wind tunnel* dioprasikan selanjutnya menunggu hasil dari visual *oil flow*
- 9. Ambil dokumentasi gambar hasil visual oil flow



10. Matikan wind tunnel lalu analisis hasil gambar yg telah diambil

Gambar 3.11 Visual Pengujian Airfoil Pada Test Section Wind Tunnel

3.7 Pengolahan Hasil Data

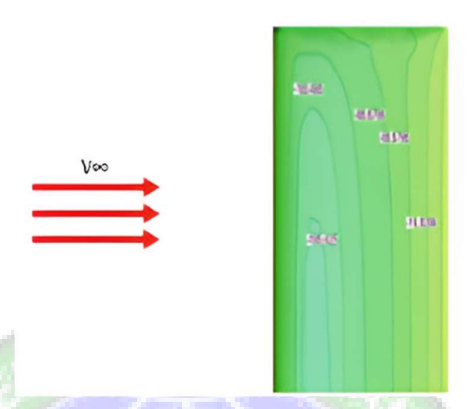
Langkah-langkah pengolahan data adalah sebagai berikut:

- 1. Lakukan semua variable eksperimen
- 2. Kumpulkan semua gambar hasil visual oil flow
- 3. Buat tabel atau grafik dengan parameter ¹/₁₀chord line dengan jumlah angle of attack yang diuji
- 4. Bedakan tabel atau grafik bedasarkan masing masing kecepatan
- 5. Masukan hasil dari experimen ke tabel dan tarik garis
- 6. Buat kesimpulan

3.8 Validasi Data

Validasi merupakan suatu tahapan penting dalam sebelum memulai sebuah penelitian eksperimen. Penelitian eksperimen dikatakan valid apabila hasil yang pengujian eksperimen yang dilakukan dengan topik yang sama atau mendekati hasil dari penelitian eksperimen terdahulu yang menjadi dasar untuk melanjutkan sebuah penelitian. Pada penelitian ini merujuk pada penelitian terdahulu yang diteliti oleh Zidhane Aliffaputra (2023), dengan menggunakan *plain airfoil* NACA 2412 pada sudut serang 0° dengan pengujian menggunakan Computational Fluid Dinamics (CFD) yang dimana hasil pengujian pada sudut serang 0° masih dalam keadaan normal dan belum menunjukan separasi terjadi di *upper surface wing* dan belum menunjukan adanya turbulen pada bagian *trailing edge airfoil*. Pada hasil

pengujian Computational Fluid Dinamics (CFD) NACA 2412 pada sudut serang 0° menunjukan hasil belum adanya penyebaran tekanan secara acak dan menandakan bahwa belum terjadi stall dan dalam keadaan normal seperti yang ditunjukan pada gambar 3.12.



Gambar 3.12 Pressure Coefficient Contour $\alpha = 0^{\circ}$

3.9 Lokasi Dan Waktu Penelitian

Penelitian ini dilaksankan di Hangar *Aerodynamic Shop* lantai 2 Program Studi Teknik Pesawat Udara (TPU) Politeknik Penerbangan Surabaya. Penulis menetapkan waktu pelaksanaan penelitian pada bulan November 2023 sampai bulan Maret 2024. Pada bulan Oktober 2023 mulai menentukan tema judul proposal tugas akhir dan pada bulan Maret merupakan persiapan dan pelaksanaan ujian tugas akhir.

| SULAN ATAU MINGGUKE | 2024 | 2024 | 2024 | 2024 | 2024 | 2024 | 2024 | 2024 | 2024 | 2024 | 2024 | 2024 | 2024 | 2024 | 2024 | 2024 | 2024 | 2024 | 2024 | 2024 | 2024 | 2024 | 2024 | 2024 | 2024 | 2024 | 2024 | 2024 | 2024 | 2024 | 2024 | 2024 | 2024 | 2024 | 2024 | 2024 | 2024 | 2024 | 2024 | 2024 | 2024 | 2024 | 2024 | 2024 | 2024 | 2024 | 2024 | 2024 | 2024 | 2024 | 2024 | 2024 | 2024 | 2024 | 2024 | 2024 | 2024 | 2024 | 2024 | 2024 | 2024 | 2024 | 2024 | 2024 | 2024 | 2024 | 2024 | 2024 | 2024 | 2024 | 2024 | 2024 | 2024 | 2024 | 2024 | 2024 | 2024 | 2024 | 2024 | 2024 | 2024 | 2024 | 2024 | 2024 | 2024 | 2024 | 2024 | 2024 | 2024 | 2024 | 2024 | 2024 | 2024 | 2024 | 2024 | 2024 | 2024 | 2024 | 2024 | 2024 | 2024 | 2024 | 2024 | 2024 | 2024 | 2024 | 2024 | 2024 | 2024 | 2024 | 2024 | 2024 | 2024 | 2024 | 2024 | 2024 | 2024 | 2024 | 2024 | 2024 | 2024 | 2024 | 2024 | 2024 | 2024 | 2024 | 2024 | 2024 | 2024 | 2024 | 2024 | 2024 | 2024 | 2024 | 2024 | 2024 | 2024 | 2024 | 2024 | 2024 | 2024 | 2024 | 2024 | 2024 | 2024 | 2024 | 2024 | 2024 | 2024 | 2024 | 2024 | 2024 | 2024 | 2024 | 2024 | 2024 | 2024 | 2024 | 2024 | 2024 | 2024 | 2024 | 2024 | 2024 | 2024 | 2024 | 2024 | 2024 | 2024 | 2024 | 2024 | 2024 | 2024 | 2024 | 2024 | 2024 | 2024 | 2024 | 2024 | 2024 | 2024 | 2024 | 2024 | 2024 | 2024 | 2024 | 2024 | 2024 | 2024 | 2024 | 2024 | 2024 | 2024 | 2024 | 2024 | 2024 | 2024 | 2024 | 2024 | 2024 | 2024 | 2024 | 2024 | 2024 | 2024 | 2024 | 2024 | 2024 | 2024 | 2024 | 2024 | 2024 | 2024 | 2024 | 2024 | 2024 | 2024 | 2024 | 2024 | 2024 | 2024 | 2024 | 2024 | 2024 | 2024 | 2024 | 2024 | 2024 | 2024 | 2024 | 2024 | 2024 | 2024 | 2024 | 2024 | 2024 | 2024 | 2024 | 2024 | 2024 | 2024 | 2024 | 2024 | 2024 | 2024 | 2024 | 2024 | 2024 | 2024 | 2024 | 2024 | 2024 | 2024 | 2024 | 2024 | 2024 | 2024 | 2024 | 2024 | 2024 | 2024 | 2024 | 2024 | 2024 | 2024 | 2024 | 2024 | 2024 | 2024 | 2024 | 2024 | 2024 | 2024 | 2024 | 2024 | 2024 | 2024 | 2024 | 2024 | 2024 | 2024 | 2024 | 2024 | 2024 | 2024 | 2024 | 2024 | 2024 | 2024 |

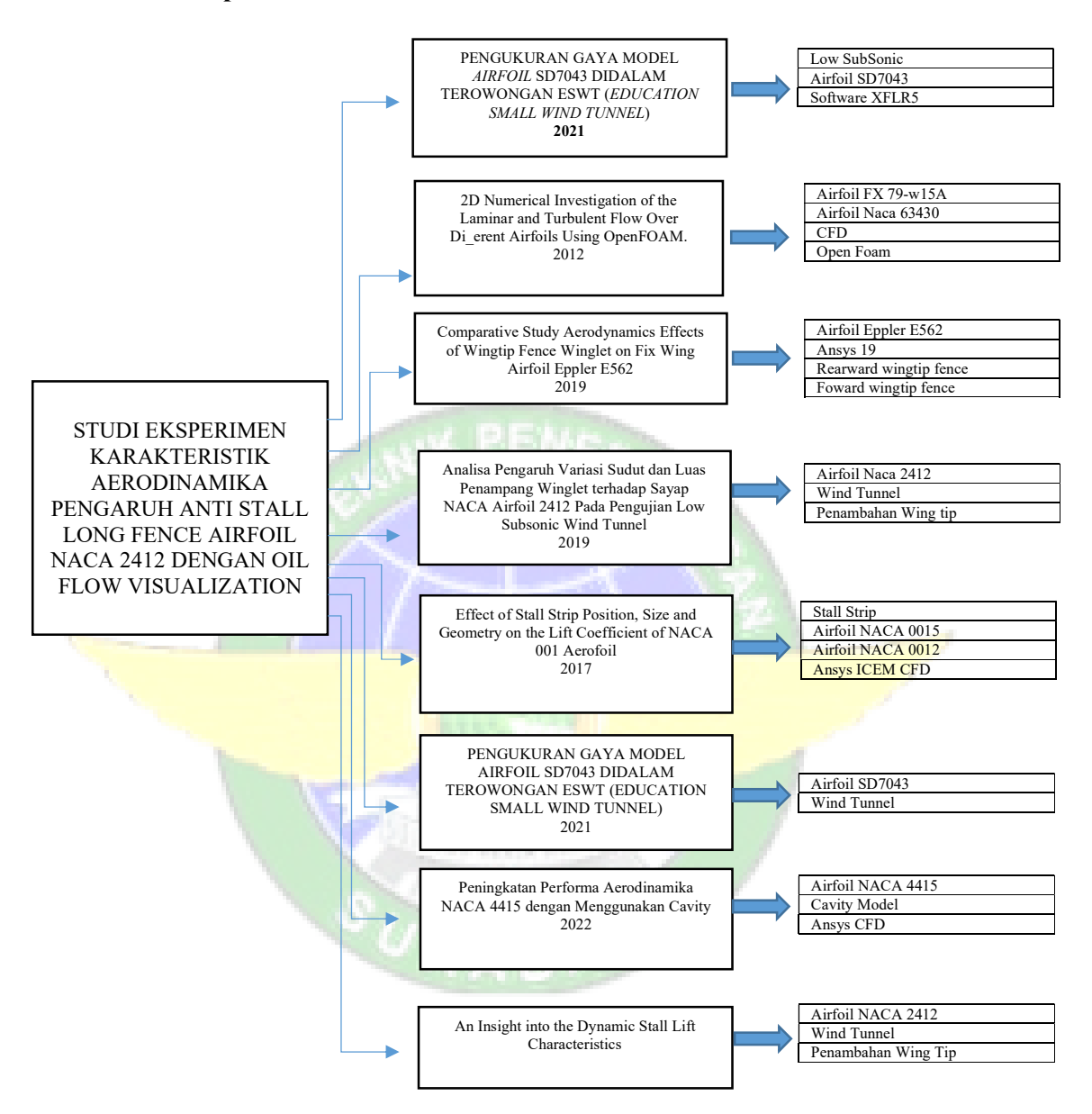
Tabel 3.1 Waktu Penelitian

3.10 Rancangan Penelitian

Berikut merupakan rancangan penelitian yang akan dilakukan: Mulai Mendesain Model Pembuatan Airfoil Menyiapkan Wind Tunnel Kecepatan 10 m/s Kecepatan 20 m/s Pelaksanaan Percobaan Plain Airfoil Airfoil dengan Double Anti Stall Sudut serang 0^0 Fence Sudut serang 0^0 Sudut serang 4⁰ Sudut serang 4⁰ 3. Sudut serang 8⁰ 3. Sudut serang 8⁰ 4. Sudut serang 10⁰ 4. Sudut serang 10⁰ Sudut serang 12⁰ 5. Sudut serang 12⁰ Sudut serang 15⁰ 6. Sudut serang 15⁰ Sudut serang 17⁰ Sudut serang 17⁰ Tidak Valid Visualisasi dengan Oil Flow Validasi Valid Pembahasan Hasil Validasi Kesimpulan

Gambar 3.13 Flowchart Penelitian

3.11 Mind Map



Gambar 3.14 Mind Map

